К 70-летию проф. В.П. Федина

УДК 546

ОКТАЭДРИЧЕСКИЕ ГАЛОГЕНИДНЫЕ КЛАСТЕРЫ НИОБИЯ И ТАНТАЛА, СОДЕРЖАЩИЕ КЛАСТЕРНОЕ ЯДРО {M₆X₁₂}

© 2024 г. М. В. Шамшурин¹, М. Н. Соколов^{1, *}

¹ Институт неорганической химии им. А.В. Николаева СО РАН, г. Новосибирск, Россия *e-mail: caesar@niic.nsc.ru

> Поступила в редакцию 18.03.2024 г. После доработки 04.05.2024 г. Принята к публикации 28.05.2024 г.

В обзоре рассмотрены методы синтеза, строение, электронная структура и реакционная способность семейства октаэдрических галогенидных кластеров ниобия и тантала, содержащих кластерное ядро $\{M_6X_{12}\}$. Рассмотрены также возможные области практического применения данного класса соединений.

Ключевые слова: ниобий, тантал, галогениды, кластеры **DOI**: 10.31857/S0132344X24100012, **EDN**: LQMAKJ

Ниобий и тантал в низких степенях окисления проявляют сильную тенденцию к образованию соединений со связями металл—металл (кластеров) [1]. Особенно многочисленно семейство октаэдрических галогенидных кластеров $\{M_6(\mu_2-X)_{12}\}^{n+}$ (M = Nb, Ta; X = F, Cl, Br, I; n=2,3,4). В них, помимо мостиковых атомов галогена, каждый атом металла кластерного ядра дополнительно координируется одним терминальным лигандом, что приводит к образованию кластерных комплексов типа [$\{M_6X_{12}\}L_6$] (рис. 1).

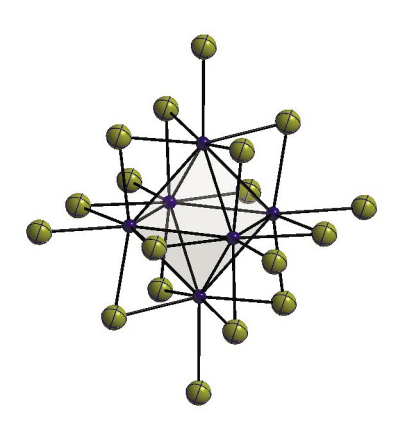


Рис. 1. Кластерный анион $[Ta_6Br_{18}]^{4-}$ как пример координационного фрагмента $[\{M_6X_{12}\}L_6]$ (M=Ta (синий), X=L=Br (зеленый)).

Этот дополнительный лиганд L может быть как терминальным, так и мостиковым. Для того чтобы отразить обе возможности, Шефером был разработан особый способ записи химических формул таких соединений. За основу берется изолированный кластерный комплекс, например $[Ta_6(\mu_2-Cl)_{12}Cl_6]^{2-}$. Мостиковые лиганды в составе кластерного ядра помечаются символом «і» (от немецкого "inner" - «внутренний»), а концевые (терминальные) - символом «а» (от немецкого "auβer" - «внешний»). В случае изолированного комплекса $[Ta_6(\mu_2-Cl)_{12}Cl_6]^{2-}$ запишется следующим образом: формула $[Ta_6(\mu_2-Cl^i)_{12}Cl^a_{6}]^{2-}$. Запись усложняется при переходе к бинарным галогенидам, обладающих трехмерными структурами, например Nb₆Cl₁₄, который в символике Шефера записывается как [$\{Nb_6Cl_{10}^iCl_{2/2}^{i-a}\}Cl_{2/2}^{a-i}Cl_{2/2}^{a-a}]$ [2—6]. Двойные индексы указывают на то, что галогенид входит в состав кластерного ядра $\{Nb_6(\mu_2-Cl)_{12}\}$ и одновременно занимает позиции «а» в соседнем кластере. Такое же строение имеют галогениды тантала Ta_6Br_{14} и Ta_6I_{14} .

Структуры галогенидов со стехиометрией M_6X_{15} описываются формулой $[M_6X_{12}^iX^{a-a}_{6/2}]$ и делятся на два структурных подкласса: Nb_6F_{15} и Ta_6X_{15} (X=Cl,Br) [7, 8]. Трехмерный каркас $[M_6X_{12}^iX^{a-a}_{6/2}]$ можно как восстановить,

так и окислить с сопутствующей интеркаляцией катионов или анионов в подходящие пустоты. Именно такую структуру имеет бромид $Ta_6Br_{15}(TaBr_6)_{0.86}$, содержащий в качестве «гостей» анионы $[TaBr_6]^-$ [9]. Интересно, что по брутто-составу ($TaBr_{2.94}$) этот бромид приближается к низшему пределу области гомогенности для бромида $TaBr_{3-x}$, который был давно обнаружен на фазовой диаграмме системы Ta-Br, но долгое время оставался структурно не охарактеризованным [10].

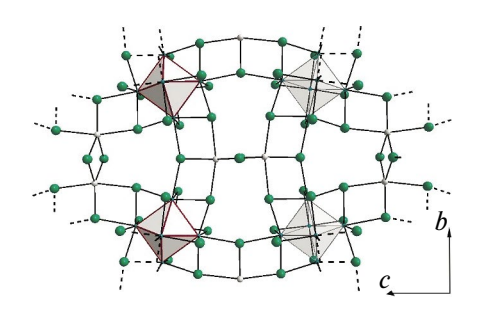
ОСНОВНЫЕ МЕТОДЫ СИНТЕЗА КЛАСТЕРНЫХ ГАЛОГЕНИДОВ НИОБИЯ И ТАНТАЛА

Бинарные галогениды редко используются как стартовые соединения для получения дискретных комплексов $[\{M_6X_{12}\}L_6]$. Общим методом получения галогенидных кластеров служит востановление пентагалогенидов MX_5 (M=Nb, Ta; X=Hal) избытком соответствующего металла M в присутствии галогенида щелочного металла AX (A=Na, K, Rb; X=Cl, Br), протекающее при $600-700\ ^{\circ}C$ [11]:

$$20AX + 16M + 14MX_5 = 5A_4[\{M_6X_{12}\}X_6].$$

В случае $K_4[M_6Br_{18}]$ (M=Nb, Ta) можно использовать бром вместо пентабромида металла с соблюдением общей стехиометрии [12]. Аналогично реакция Ta, Br_2 и LiBr приводит к образованию продукта состава $Li_4[Ta_6Br_{18}]$, экстракция которого диглимом на воздухе приводит, в результате окисления кластера, к кристаллизации комплекса состава [Li(диглим)₂], $[Ta_6Br_{18}]$ [13].

Помимо галогенидов щелочных металлов можно использовать металлы 13 группы (галлий, индий, таллий), способные входить в кристалли-



ческую решетку продукта в виде ионов М⁺. Реакция соответствует уравнению:

$$20$$
Ga(In, Tl) + 18 MCl₅ + 12 M = $=5$ Ga(In, Tl)₄[M₆Cl₁₈] ($700-800$ °C).

Восстановлением NbCl₅ металлическим Nb в присутствии InCl₃ или TlCl₃ при 720°C были получены фазы состава ANb₆Cl₁₅ (A = In⁺, Tl⁺) [14]. Структура In[Nb₆Cl₁₅] базируется на трехмерном каркасе, образованном октаэдрами $\{Nb_6Cl_{12}\}^{2^+}$, связанными мостиковыми атомами Cl^a по всем трем направлениям. Катионы In⁺ заполняют пустоты (рис. 2).

Нагреванием смеси Nb, NbCl₅ и LiCl при 700 °C получена фаза состава $\text{Li}_2[\text{Nb}_6\text{Cl}_{16}]$ (рис. 3). В ее структуре присутствуют анионные слои $[\text{Nb}_6\text{Cl}^i_{12}\text{Cl}^{a-a}_{4/2}\text{Cl}^a_{2}]^{2-}$, в плоскости которых расположены катионы лития [15]. Интересно, что экстракция литиевой соли ацетоном в атмос-

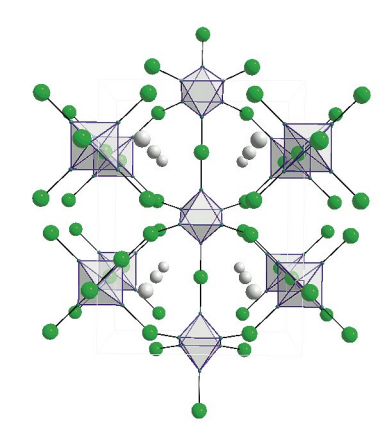


Рис. 2. Фронтальная проекция структуры $In[Nb_6Cl_{15}]$: в виде октаэдров представлены кластерные ядра Nb_6 , связанные мостиковыми атомами Cl; одиночные атомы — $In^+[14]$.

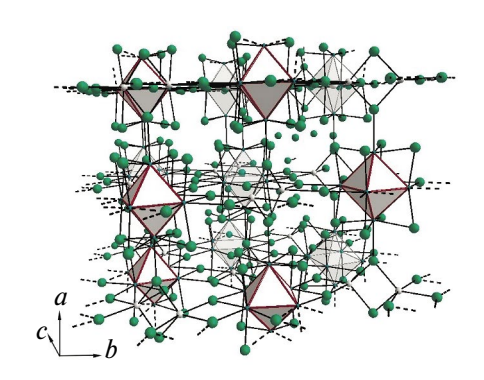


Рис. 3. Структура $\text{Li}_2[\text{Nb}_6\text{Cl}_{16}]$: показаны слой (слева) и трехмерный каркас с участием ионов лития (серые шарики, справа).

фере аргона приводит, как утверждается, к «щадящему окислению» (за счет ацетона?) кластерного ядра $\{Nb_6Cl_{12}\}^{2+}$ до состояния $\{Nb_6Cl_{12}\}^{3+}$. После добавления краун-эфиров (12-краун-4, 15-краун-5, 18-краун-6) были выделены соответствующие соли, содержащие кластерный анион $[Nb_6Cl_{18}]^{3-}$ [16].

Схожее превращение в присутствии хлорида индия протекает по уравнению:

$$2InCl_3 + 2LiCl + 2NbCl_5 + 4Nb = In_2Li_2[Nb_6Cl_{18}].$$

Структура $In_2Li_2[Nb_6Cl_{18}]$ состоит из дискретных кластеров $[Nb_6Cl_{18}]^{4-}$ в катионном окружении из Li^+ и In^+ [17]. Сообщается и о $Tl_4[Nb_6Br_{18}]$, метод получения которого схож с приведенным выше для $Ga(In, Tl)_4[Ta_6Cl_{18}]$ [18]. $K_4[Ta_6X_{18}]$ (X=Cl,Br) можно получить в относительно мягких условиях, восстанавливая пентагалогенид тантала Ga или Ga_2Cl_4 [19]. Оригинальный способ восстановления пентагалогенидов предложили британские ученые A. Уиттакер и \mathcal{I} . Мингос, которые использовали микроволновое излучение в качестве активатора реакции MCl_5 (M=Nb, Ta) с Al, причем использовалась бытовая микроволновая печь мощностью 200 ватт (режим «размораживание») [20].

Катионная часть солей на основе $[Nb_6Cl_{18}]^{4-}$ может включать в себя также однозарядные катионы Cu⁺, двухзарядные Ba²⁺, Pb²⁺, Eu²⁺, Mn²⁺, V^{2+} и трехзарядные Ti^{3+} , Gd^{3+} , Lu^{3+} , Er^{3+} . Haпример, получены фазы со смешанным катионным составом: $Rb_2Cu_2[Nb_6Cl_{18}]$, $K_2Mn[Nb_6Cl_{18}]$, $ATi[Nb_6Cl_{18}]$ (A = K, Rb, Cs, In, Tl) u $A_2V[Nb_6Cl_{18}]$ (A' = Tl, In, Rb) [21–24]. Для бромидов описаны $CsLn[Nb_6Br_{18}]$ (A = K-Cs, $Ln = La-Lu^{3+}$ и $A_2Ln[Ta_6Br_{18}$] (A = Rb, Cs, Tl, Ln = Eu²⁺, Yb²⁺) [25, 26]. Серия бромотанталатов представлена фазами A_2 Ln[Ta_6Br_{18}] (A = K-Cs, Ln = Eu^{2+} , Yb^{2+}), $ALn[Ta_6Br_{18}]$ (A = K-Cs, Ln = La-Lu³⁺, Y³⁺). Окисленный анион $[Ta_6Br_{18}]^{3-}$ присутствует в структуре $Ln[Ta_6Br_{18}]$ (Ln = Nd-Tm). Все эти фазы получены нагреванием стехиометрических количеств ABr, REBr₃, MBr₅ и М в кварцевых трубках при 600-750°С в течение суток [27].

 ${
m Ta}_6{
m I}_{14}$ впервые был получен в 1965 году восстановлением ${
m TaI}_5$ металлическим ${
m Ta}$: 14 ${
m TaI}_5$ + 16 ${
m Ta}$ = ${
m 5Ta}_6{
m I}_{14}$ [28] .

При этом использовалась трехзонная схема: иодид тантала нагревается до $510\,^{\circ}$ С, металлический тантал — до $665\,^{\circ}$ С, а кристаллический

продукт собирался в зоне, нагретой до 528° С. Альтернативно он может быть получен восстановлением пентаиодида тантала алюминием в градиенте температур $475-300^{\circ}$ С. Недавно была предложена простая методика синтеза Ta_6I_{14} из простых веществ, не предполагающая использование TaI_5 [29]. Строение Ta_6I_{14} показано на рис. 4. Нагревание его с избытком иода в запаянной ампуле при 350° С переводит Ta_6I_{14} в TaI_5 . При более низких температурах (жидкий иод под давлением, $\leq 250^{\circ}$ С) образуется фаза с мольным соотношением I/Ta = 4,6, которой приписывается строение [$(Ta_6I_{12})I_{18}$] с полииодидными мостиками между кластерами $\{Ta_6I_{12}\}^{2+}$ [30].

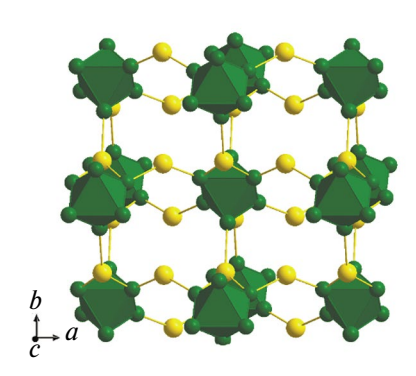


Рис. 4. Строение $Ta_6I_{14}([Ta_6I^i_{10}I^{i-a}_{2/2}]I^{a-i}_{2/2}I^{a-a}_{2/2}])$.

Утверждается, что иодидный кластер Ta_6I_{15} образуется при разложении пентаиодида тантала в токе азота при 100-200°C в виде черных кристаллов кубической сингонии (a = 11.02 Å). На основе сходства порошковых дифрактограмм для него принимается строение, аналогичное ${
m Nb}_6{
m F}_{15}$ ([(${
m M}_6{
m X}^{
m i}_{12}$) ${
m X}^{
m a}_{6/2}$]) [30]. Комплексы с кластерным ядром { ${
m Nb}_6{
m I}_{12}$ } неизвестны, однако в соединении состава ${}^{N}b_{6}Cl_{10.8}I_{3.3}$ присутствуют кластерные ядра ${}^{N}b_{6}Cl_{11}I_{2}^{2+}$. Кристаллическая структура другого смешанного галогенида, $Nb_6Cl_{12}I_2$, описывается Шеферовской формулой $\{Nb_6^{l_1^{l_1^{\prime}}}2^{l_{a-a-a}}_{l_{a-a}^{\prime}}\}$, согласно которой кластерные ядра $\{Nb_6^{l_1^{\prime}}Cl_{12}^{l_2^{\prime}}\}^{2+}$ связаны иодидными мостиками [31]. Что касается фторидов, то Nb_6F_{15} остается единственным примером октаэдрического кластера с ядром $\{M_{6}F^{i}_{12}\}$, хотя известны смешанные фторидгалогениды $CsNb_6Cl_8F_7$ и $KNbf_6Cl_{10}F_5$ [32], $Na_2Nb_6Cl_8F_7(NbF_6)$ [33], $Na_2Nb_6Cl_8F_7(NbF_6)$ и Nb₆Br₈F₇ [34], Cs₂Nb₆Br₅F₁₂ [35], Cs₄Nb₆I₉ ₅F₈ ₅ [36].

ОБЩИЕ СВОЙСТВА ОКТАЭДРИЧЕСКИХ КЛАСТЕРОВ

Поскольку и галогенид- и халькогенид-ионы не являются π -акцепторными лигандами силь-

ного поля, правило 18 электронов и связанные с ним правила Уэйда-Мингоса не применимы для определения «магического числа» электронов, необходимых для стабильности кластера. Для существования устойчивых кластеров $[M_6X_{12}^iY_6^a]^n$ достаточно уже 14 кластерных скелетных электронов с возможностью дополнительного обратимого восстановления в 15- и 16-электронные кластеры. Этим числам отвечают кластерные ядра $\{M_6X_{12}^i\}^{4+}$, $\{M_6X_{12}^i\}^{3+}$ и $\{M_6X_{12}^i\}^{2+}$ соответственно. Такая «электронная емкость», подразумевающая возможность сохранения структуры при потере или присоединении нескольких электронов за счет небольшого изменения геометрических параметров, позволяет рассматривать октаэдрические кластеры как «электронные резервуары». Начиная с 1960-х гг. проводились экспериментальные исследования (ЭПР, электронные спектры поглощения, магнитные измерения) и квантово-химические расчеты электронной структуры кластеров с ядром $\{M_6(\mu_2-X)_{12}\}^{n+}$ [37–40]. Было показано, что граничные орбитали (ВЗМО и НВМО) являются металл-центрированными, и их заполнение влияет на связывание металл-металл в кластере. Кластеры $\{M_6X_{12}\}^{4+}$ (14 кластерных скелетных электронов) и $\{M_6X_{12}\}^{2+}$ (16 кластерных скелетных электронов) диамагнитны. Почти чисто спиновые магнитные моменты для 15-электронного $(M_6 X_{12})^{3+}$ свидетельствует о том, что при восстановлении $\{M_6X_{12}\}^{4+}$ электроны занимают невырожденную молекулярную орбиталь a_{211} (рис. 5). Связывающий характер a_{2u} -орбитали подтверждается заметным удлинением расстоя-

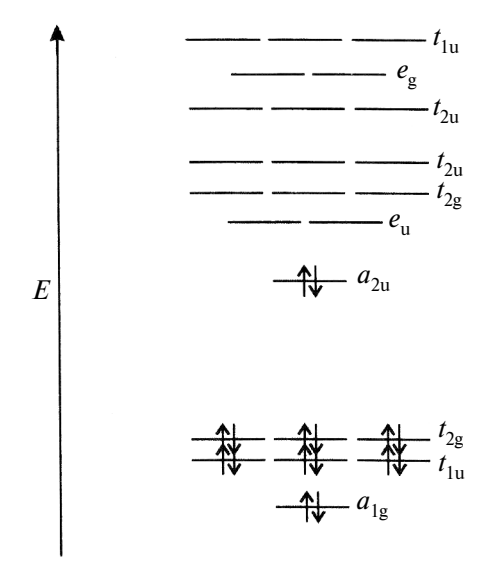


Рис. 5. Диаграмма МО $\{M_6(\mu_2-X)_{12}\}^{2+}$ [1].

ния M-M (около 0,1 Å) при удалении с нее электронов.

Недавние расчеты, выполненные на современном уровне теории функционала плотности (базисный набор Def2-TZVPP, B3LYP) для серии комплексов $[M_6X_{12}^iX_6^a]^{4-}$ (X = Cl, Br) подтверждают наличие 8 МО, ответственных за связыванием металл-металл. Орбитали ВЗМО, ВЗМО-1 и ВЗМО-2 действительно отвечают орбиталям a_{2u} , t_{1u} и t_{2g} , соответственно (причем уровень $t_{1\mathrm{u}}$ лежит выше, а не ниже по энергии, чем t_{2g} , как следовало из классической схемы). Орбиталь a_{1g} является самой низколежащей и может опускаться даже ниже МО, отвечающих неподеленным парам галогенидных лигандов. Примечательно наличие π-связывания между металлом и терминальным галогенидом, которому отвечает глубоколежащий набор t_{2g} (HOMO-7) [41].

ЭПР, зарегистрированный $(Bu_4N)_3[Nb_6Cl_{12}Br_6]$ $(\{Nb_6Cl_{12}\}^{3+}\}$, показал, что неспаренный электрон делокализован на шести эквивалентных атомах ниобия. Были измерены величины магнитной восприимчивости и спектры магнитного кругового дихроизма, подтвердившие парамагнетизм 15-электронных кластеров, при этом было показано, что магнитное поведение комплексов $[M_6X_{12}X_6]^{3-}$ подчиняются закону Кюри [42–45]. Изучены электронные спектры поглощения (ЭСП) для $[M_6X_{12}(H_2O)_6]^{n+}$ (X = Cl, Br: n = 2-4) в водных растворах. Близкое сходство ЭСП для ниобия и тантала показывает отсутствие заметного влияния спин-орбитального взаимодействия на энергию молекулярных орбиталей [46, 47].

Химические свойства кластеров $[\{M_6X_{12}\}L_6]$ определяются двумя факторами. Во-первых, в реакциях замещения лигандов мостиковый лиганд X, как правило, инертен, в то время как терминальные лиганды лабильны. Во-вторых, кластеры вступают в обратимые реакции одноэлектронного окисления/восстановления. Ситуация может осложняться тем, что лигандный обмен может сопровождаться изменением состояния окисления кластерного ядра. В кислых растворах кластеры $\{M_6X_{12}\}^{2+}$ медленно окисляются кислородом воздуха с образованием $\{M_6X_{12}\}^{3+}$ и $\{M_6X_{12}\}^{4+}$ [19, 42, 48]. Особенно легко окисляются анионные комплексы $[\{M_6X_{12}\}X_6]^{4-}$, а галогенидные комплексы $[\{M_6X_{12}\}X_6]^{2-}$ являются, напротив, наиболее стабильными среди 14-электронных кластеров с ядром $\{M_6X_{12}\}^{4+}$. В неводных средах окисленные состояния +3

и +4 стабильнее, чем в водных [43]. Природа терминального лиганда оказывает влияние на относительную стабильность 14-, 15- и 16-электронных кластеров [44, 45].

16-ЭЛЕКТРОННЫЕ КЛАСТЕРЫ $\{M_6X_{17}\}^{2+}$

Как сами бинарные галогениды М₆Х₁₄, так и соли $A_4[M_6X_{18}]$ растворимы в воде. Из водных растворов, в зависимости от условий кристаллизации, выделяются гидраты $[(M_6X_{12})(H_2O)_4X_2]$ · nH_2O (n=3 или 4), по традиции записывающиеся как M_7X_{14} · (7-8) H_9O . Следует отметить, что в большинстве работ точный состав используемого гидрата, используемого в дальнейших синтезах (тригидрат vs. тетрагидрат), не уточнялся. Восстановление смеси пентабромидов ниобия и тантала кадмием с последующей акватацией привело к выделению смешанных кластеров (Nb,Ta)₆Br₁₄·8H₂O [46]. Гидраты могут быть переведены в соли $[M_6Cl_{18}]^{4-}$ с органическими катионами — производными тетраалкиламмония — экстракцией подходящим растворителем в аппарате Сокслета в присутствии R₄NCl в инертной атмосфере [49]. Попытки провести аналогичный обмен на воздухе приводят к окисленным комплексам $[M_6X_{18}]^{2-}$ [50].

Для бромидного кластера тантала установлено строение как три-, так и тетрагидрата, причем в обоих случаях строение координационной сферы кластера описывается формулой *транс* [(Ta_6Br_{12})($H_2O)_4Br_2$]. Тетрагидрат полностью теряет кристаллизационную воду при нагревании до 125°C [50]. Дальнейшая дегидратация аквакомплексов была изучена на примере [(Nb_6Cl_{12})($H_2O)_4Cl_2$]. Она сопровождается отщеплением HCl с образованием гидроксида [(Nb_6Cl_{12})($H_2O)_2(OH)_2$] и, возможно, [(Nb_6Cl_{12})($H_2O)_3(O)$], для которого может образоваться скелетная пе-

регруппировка с переходом кислорода в одну из 12 мостиковых позиций [51]. Гидраты гидроксокомплексов [(Nb $_6$ Cl $_1$ 2)(H $_2$ O) $_2$ (OH) $_2$] · 6H $_2$ O и [(Ta $_6$ Cl $_1$ 2)(H $_2$ O) $_2$ (OH) $_2$] · 6H $_2$ O могут быть выделены из растворов [36].

Можно добиться полной акватации кластерного ядра $\{M_6X_{12}\}^{2+}$ с образованием аквакомплексов $[(M_6X_{12})(H_2O)_6]^{2+}$ (рис. 6) Среди структурно охарактеризованных производных аквакомплексов можно упомянуть соли $[M_6Br_{12}(H_2O)_6][HgBr_4] \cdot 12H_2O$ [40, 41], $Cs[(Ta_6Br_{12})(H_2O)_6]Br_3 \times 6H_2O$, $[(Ta_6Br_{12})(H_2O)_6]Cl_2 \times 8H_2O$, $[(Ta_6Br_{12})(H_2O)_6]SO_4 \times 8.5H_2O$ [42], а также тетрафенилбораты $[Ta_6I_{12}(H_2O)_6](BPh_4)_2 \cdot H_2O$ и $[Ta_6Br_{12}(H_2O)_6](BPh_4)_2 \cdot 4H_2O$ (рис. 7).

Аквакомплексы способны входить в полость ү-циклодекстрина (ү-СD). Образование супрамолекулярного комплекса «гость-хозяин» $\{[Nb_6Cl_{12}(H_2O)_6]@\gamma-CD\}^{2+}$ со стехиометрией 1: 1 изучено методами ЯМР, изотермического калориметрического титрования и масс-спектрометрии. Константа устойчивости аддукта составляет $2.2 \times 10^3 \text{ M}^{-1}$. Стехиометрия 1 : 1 сохраняется в растворе в большом интервале соотношений реагентов, но кристаллизация приводит к продукту состава $[Nb_6Cl_{12}(H_2O)_6@(\gamma-CD)_2]$ $Cl_2 \cdot 20H_2O$, в структуре которого кластер связан с двумя молекулами ү-СО. Для моделирования взаимодействия между хозяином и гостем выполнены квантово-химические расчеты [52]. Аналогичный комплекс тантала отличается большей устойчивостью ($K = 1.5 \times 10^5 \text{ M}^{-1}$, причем, в отличие от ниобия, в растворе зафиксировано образование аддукта с двумя молекулами циклодекстрина с $K = 1.3 \times 10^5 \,\mathrm{M}^{-2}$ [53].

Гидраты $M_6 X_{14} \cdot 8 H_2 O$ хорошо растворимы в спиртах, при этом из растворов могут быть

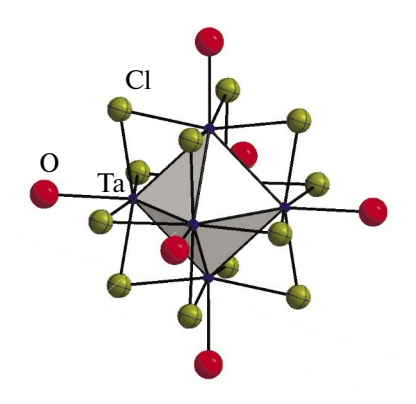


Рис. 6. Кластерный катион $[(Ta_6Br_{12})(H_2O)_6]^{2+}$.

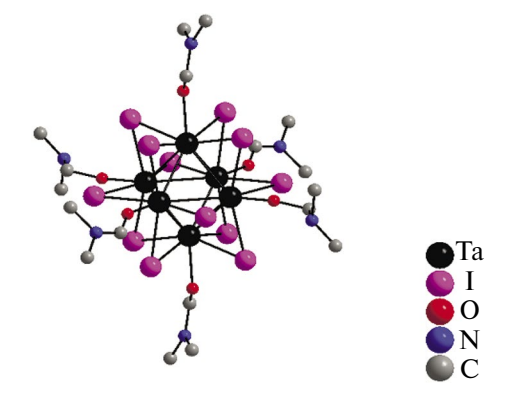


Рис. 7. Строение кластера $[Ta_6I_{12}(DMF)_6]^{2+}$.

выделены продукты состава $[M_6X_{12}(ROH)_6]X_2$ (M = Nb, Ta; X = Br, Cl; R = CH₃, C₂H₅, *i*-C₃H₇, *i*-C₄H₉). Комплексы $[M_6X_{12}(C_2H_5OH)_6]X_2$ служат стартовыми соединениями для получения галогенидных кластерных комплексов с различными лигандами в безводных растворителях, например $[M_6X_{12}(DMF)_6]X_2$ (M = Nb, Ta; X = Cl, Br) [54]. Экстракция Ta_6I_{14} диметилформамидом приводит к образованию зеленого раствора, из которого удалось выделить $[Ta_6I_{12}(DMF)_6]I_2$ (рис. 7) [29].

Титрование метанольного раствора аквакомплексов тантала щелочью в отсутствии кислорода воздуха дает метоксидные ком- $[Ta_{2}Cl_{12}(OCH_{2})_{2}(CH_{2}OH)_{4}]$ [55]. можно вхождение в координационную сферу большего числа алкоксидных лигандов, о чем свидетельствует выделение $[Na(222-crypt)]_2$ $[Na(CH_3OH)_4]_2[Nb_6Cl_{12}(OCH_3)_6] \cdot 7CH_3OH [56].$ В случае тантала при доступе кислорода воздуха выделены окисленные метилатные комплексы $A_2[Ta_6Cl_{12}(OCH_3)_6]$ · 6CH₃OH (A = Li — Rb) [57]. В жестких условиях (115°C) реакции $A_4[Nb_6Cl_{18}]$ с алкоголятами (CH₃ONa, C_2H_5ONa) в соответствующих спиртах приводят полному замещению мостиковых галогенидов на алкоксидные с сохранением общей структуры кластерного ядра $\{Nb6(\mu-OR)_{12}\}^{4+}$. В результате выделены и структурно охарактеризованы кластерные плексы состава $[K(CH_3OH)_4]_2[Nb_6(OCH_3)_{18}]$ и $[Na(18-crown-6)(C_2H_5OH)_2]_2[Nb_6(OC_2H_5)_{12}$ $(NCS)_6$ [58]. Позднее были получены $A_2[Nb_6(OC_2H_5)_{12}I_6]$ (A = Ph₄P, PPN) [59], a Takже $[Mg(CH_3OH)_6][Ta_6(CH_3O)_{18}]$ 6CH₃OH $\mu A_2[Nb_6(OC_2H_5)_{12}I_6]$ (A = Ph₄P, PPN) [60].

Реакции лигандного обмена $A_4[M_6X_{18}]$, Nb_6Cl_{14} и [(Nb_6Cl_{12}) $Cl_2(H_2O)_4$] $Cl_2 \cdot 4H_2O$ с тиоцианатами, азидами или цианидами приводят к кластерам состава $A_4[Nb_6X_{12}X_6]$ (A = щелочной металл, $X = Cl^-$, Br^- ; $X' = NCS^-$, N_3^- , CN^-), но из-за медленной кинетики замещения протекание этих реакций при комнатной температуре требует длительного времени (иногда до недели) [61, 62]. Отмечается, что кристаллы азидного комплекса $Rb_4[Nb_6Br_{12}(N_3)_6] \cdot 2H_2O$ взрываются при механическом воздействии или нагревании [63]. В недавней работе описано превращение $K_4[Nb_6Cl_{18}]$ в $(BMIm)_4[Nb_6Cl_{12}(NCS)_6]$ по реакции с ионной жидкостью (BMIm)NCS (BMIm = 1-бутил-3-метилимидазолий) в ацетонитриле в сольвентотермальных условиях (110°C); и в этих условиях реакция требует нагревания в течение 3 дней. На основе $(BMIm)_4[N-b_6Cl_{12}(NCS)_6]$ был получен координационный полимер состава $(BMIm)_2(Cu(CH_3CN)_2)_2[N-b_6Cl_{12}(NCS)_6] \cdot 2CH_3CN$. В нем образуется трехмерный каркас за счет координации роданидного лиганда по мостиковому типу атомом азота к Nb и атомом серы к Cu^+ [64].

Совсем недавно были разработаны простые подходы для получения всей серии цианидных комплексов $[Nb_6X_{12}(CN)_6]^{4-}$ (X = Cl, Br) и $[Ta_6X_{12}]^{4-}$ $(CN)_{6}$]⁴⁻ (X = Cl, Br, I) [65] (стоит не по порядку). Цианиды могут служить для создания координационных полимеров. Например, получен аналог «берлинской лазури» состава $(Me_4N)_2[MnNb_6Cl_{12}(CN)_6]$, в структуре которой роль анионов $[Fe(CN)_6]^{3-}$ играют топологически сходные анионы $[Nb_6Cl_{12}(CN)_6]^{4-}$ [66]. На основе $[Nb_6Cl_{12}(CN)_6]^{4-}$, $[Mn(salen)]^+$ (salen — N,N'этилен-бис(салицилиден)иминат) дерных цианидных комплексов ($[Fe(CN)_6]^{4-}$, $[Cr(CN)_6]^{3-}$, $[Ni(CN)_4]^{2-}$, $[Fe(CN)_5(NO)]^{2-}$ noлучена серия трехмерных координационных полимеров с кубической гранецентрированной решеткой. Они могут быть описаны как аналоги берлинской лазури, в узлах которой находятся чередующиеся кластерные и моноядерные цианидные комплексы, разделенные дитопическими катионами $[Mn(salen)]^+$ [67].

Принудительная сольватация кластерных ядер $\{M_6X_{12}\}^{2+}$ донорными растворителями может быть достигнута растворением $A_4[M_6X_{18}]$ в присутствии сильных кислот Льюиса. Описано получение $[Nb_6Cl_{12}(Py)_6][AlCl_4]_2$ и $[Nb_6Cl_{12}(NMP)_6][GaCl_4]_2$ по двухстадийной методике, включающей реакцию $A_4[Nb_6Cl_{18}]$ (A=K,Rb) с $AlCl_3$ или $Alcl_3$ в ацетонитриле с последующем добавлением в раствор растворителя с более высоким донорным числом ($Alcl_3$), пиридина). Очевидно, реакция протекает через промежуточное образование $Alcl_3$ 0 ($Alcl_3$ 1), $Alcl_3$ 2 ($Alcl_3$ 1), пиридина).

Взаимодействие гидратов M_6Cl_{14} · $(7-8)H_2O$ с триалкилфосфинами приводит к замещению молекул воды на фосфиновые лиганды с образованием (в случае тантала) смесей *цис*и *транс*-изомеров $[Ta_6Cl_{12}Cl_2(PR_3)_4]$ ($R=C_2H_5$, $n-C_3H_7$, $n-C_4H_9$), которые разделяют с помощью хроматографии, в то время как для ниобиевых кластеров выделен только *транс*-изомер [69, 70]. В публикациях почти полувековой давности описан ряд структурно не охарактеризованных комплексов с нейтральными лигандами

типа $[(M_6X_{12})X_2L_4]$ (L = ДМСО, ДМФА, Ph₃PO, Ph_3AsO , PyNO (Py = пиридин), $P(OR)_3$) [71, 72]. Рациональный подход к синтезу таких аддуктов из аквакомплексов базируется на использовании дегидратирующих агентов, таких как уксусный или пивалевый ангидрид в присутствии лиганда в подходящем растворителе. Таким путем была получена серия $[(Nb_6Cl_{12})Cl_2L_4]$, где L — пиримидин, N-метилимидазол, изобутиронитрил, изопропанол, Рһ, РО, ДМСО. В структурах, по данным РСА, присутствуют исключительно транс-изомеры. С учетом того, что выходы продуктов не достигают количественных, не исключено присутствие иис-изомера в маточных растворах. Лиганд ДМСО координирован через атомы кислорода [73].

Недавно был предложен новый подход к замещению лигандов в аквакомплексах, основанный на реакциях гидратов $M_6 X_{14} \cdot (7-8) H_2 O$ с ионными жидкостями. Обработка $Nb_6 Cl_{14} \cdot$ 8Н₂О трифторацетатом тетраметилгуанидиния в присутствии трифторуксусного ангидрида для связывания воды при 60°C в течение недели приводит к образованию трифторацетатных $[Nb_6Cl_{12}(CF_3COO)_6]^{4-}$ комплексов кристаллизуются виде солей с ацилированным по иминному атому азота катионом тетраметилгуанидиния [74]. $Nb_6Cl_{14} \cdot 8H_2O$ в основных ионных жидкостях на основе имидазола (imH) и минеральной кислоты (HCl, H_2SO_4 , H_3AsO_4 , H_2CrO_4) превращается в имидазольные комплек $c_{12} = Nb_{6} Cl_{12} (imH)_{6}^{2+}$, выделенные и структурно охарактеризованные в виде солей с соответствующими анионами [75].

Образование фторидных комплексов [$\{(Nb_{x-}Ta_{6-x})Cl_{12}\}F_6\}^{4-}$ было использовано для характеристики сложной смеси, содержащей гетерометаллические кластеры $\{Nb_xTa_{6-x}Cl_{12}\}^{2+}$ с различным соотношением Nb: Та с помощью ЯМР на ядрах ^{19}F . При этом хроматографически было выделено семь индивидуальных фракций с высокой степенью обогащения по индивидуальной кластерной форме [43]. Дальнейшего развития это направление не получило.

15-ЭЛЕКТРОННЫЕ КЛАСТЕРЫ $\{M_6X_{12}\}^{3+}$

В бинарных галогенидах Nb_6F_{15} , Ta_6Br_{15} и Ta_6Cl_{15} кластерные группировки $\{M_6X_{12}\}^{3+}$ связаны мостиковыми галогенидными лигандами в трехмерные сетки $[M_6X^i_{12}X^{a-a}_{6/2}]$ [5, 76]. Для хлорида тантала была показана возможность электрохимической интеркаляции лития

по схеме: $Ta_6Cl_{15} + xLi = Li_xTa_6Cl_{15}$, где вблизи химического равновесия Ta₆Cl₁₅ принимает 1 моль лития с образованием 16-электронного кластера LiNb₆Cl₁₅. Обратимая емкость при достаточно высоких потенциалах (2 В) слишком мала, чтобы использовать Ta₆Cl₁₅ в качестве анода в Li-ионных батареях. Тем не менее ячейки Li/Ta₆Cl₁₅ выдерживают не менее 1500 циклов заряда и разряда [77]. К этому же семейству принадлежит и бромид состава ТаВг, 94, строение которого отвечает формуле $[{Ta_6Br_{12}}]$ $Br_3{TaBr_6}_{0.86}$], т.е. по сути частично окисленному кластеру Та₆Вг₁₅. Для ниобия аналогичного соединения не описано [78]. Кластеры $\{Nb_6Cl_{12}\}^{3+}$ присутствуют в структуре LnNb₆Cl₁₈ [9]. Соли Li, Na и Cs также известны [79].

15-Электронные кластерные комплексы обычно получают восстановлением или окислением кластеров $\{M_6X_{12}\}^{4+}$ и $\{M_6X_{12}\}^{2+}$ соответственно. Ниобиевые кластеры $\{Nb_6Cl_{12}\}^{3+}$ образуются при быстрым окислении $\{Nb_6Cl_{12}\}^{2+}$ кислородом воздуха; дальнейшее окисление до состояния +4 происходит медленно. Напротив, окисление $\{Ta_6Cl_{12}\}^{3+}$ до $\{Ta_6Cl_{12}\}^{4+}$ кислородом воздуха происходит достаточно быстро [60]. Контролируемое окисление 16-электронных кластеров $\{M_6X_{12}\}^{2+}$ (как правило, в кислых средах) с помощью Fe^{3+} , Br_2 , Cl_2 или O_2 может быть использовано для получения гидратов $\{M_6X_{12}\}$ $X_3(H_2O)_3$] · $3H_2O$ и анионных комплексов [$\{M_6X_{12}\}$ Cl_6]^{3–} [26]. Разработана методика синтеза аквакомплексов $[{Ta_6Cl_{12}}(H_2O)_6]^{3+}$ контролируемым восстановлением гидроксокомплексов [{Ta₆Cl₁₂} $(OH)_6$ $]^{2-}$ соляной или бромистоводородной кислотами [69]. Аналогичные реакции в метанольных средах позволяют получить [{Ta₆Cl₁₂} $(CH_3OH)_6]^{3+}$ [50]. Фосфиновые комплексы циси *mpaнc*- $[(Ta_6Cl_{12})Cl_2(PEt_3)_4]$ при окислении $NOBF_4$ образуют катионные комплексы $[(Ta_6Cl_{12})Cl_2(PEt_3)_4]^+,$ причем расположение терминальных хлоридных лигандов сохраняется [80]. Перекристаллизация $[Ta_6Cl_{12}(ROH)_6]$ Cl₂ из валеронитрила на воздухе привела к темно-красным кристаллам состава $2[(Ta_6Cl_{12})]$ $Cl_3(BuCN)_3$ · $[(Ta_6Cl_{12})Cl_4(BuCN)_2]$ · с низким выходом, в которых присутствуют нейтральные молекулярные комплексы [(Ta₆Cl₁₂) $Cl_3(BuCN)_3$] и [(Ta₆Cl₁₂)Cl₄(BuCN)₂] в соотношении 1:1 [81]. Кратко сообщалось о получении [Nb₆Cl₁₂(C₆H₅CN)₆](SbCl₆)₃ [82]. Описаны также комплексы с диметилсульфоксидом состава $[(M_6Cl_{12})Cl_3(Dmso)_3]$ и $(Et_4N)_2[(Nb_6Cl_{12})$ Cl₅(Dmso)] [55].

Трифлатные комплексы образуются по реакции галогенидных комплексов с метилтрифлатом без изменения окислительного состояния кластерного ядра:

$$(Bu_4N)_3[Nb_6Cl_{12}Cl_6] + 6CH_3OSO_2CF_3 =$$

= $(Bu_4N)_3[Nb_6Cl_{12}(SO_3CF_3)_6] + 6CH_3Cl.$

Трифлатный комплекс можно получать также реакцией обмена $(Bu_4N)_3[Nb_6Cl_{12}Cl_6]$ с $AgOSO_2CF_3$ [83]. Трифлатные комплексы легко вступают в реакции лигандного обмена:

$$\begin{split} [Nb_6Cl_{12}(SO_3CF_3)_6]^{3-} + 6X^- &= [Nb_6Cl_{12}X_6]^{3-} + \\ &+ 6OSO_2CF_3^-(X=Cl,\,Br,\,I,\,NCS). \end{split}$$

Для полного замещения необходим избыток галогенида. Аналогичные комплексы тантала получаются в реакциях $[{\rm Ta_6Cl_{12}(SO_3CF_3)_6}]^{2-}$, но в этом случае часть лиганда расходуется на восстановление кластерного ядра. Для $({\rm Bu_4N})_3$ $[{\rm Nb_6Cl_{12}Br_6}]$ снят спектр ЭПР в хлористом метилене при комнатной температуре, в котором реально удалось наблюдать лишь 41 линию из 55 ожидаемых для неспаренного электрона, связанного сверхтонким взаимодействием с шестью ядрами $^{93}{\rm Nb}$ (I=9/2).

14-ЭЛЕКТРОННЫЕ КЛАСТЕРЫ $\{M_6X_{12}\}^{4+}$

Это самое высокое из доступных для данного семейства кластеров состояние окисления может быть достигнуто окислением кластеров $\{M_6X_{12}\}^{2+}$ хлором или бромом, взятыми в избытке. Нередки случаи, когда окисление медленно протекает при хранении 16- или 15-электронных кластерных комплексов на воздухе. Например, твердые образцы $Ta_6Cl_{14} \cdot 8H_2O$ претерпевают обратимое топотактическое окисление, сопровождающееся переносом протона:

$$\begin{aligned} & [\{Ta_6Cl_{12}\}Cl_2(H_2O)_4] \cdot 4H_2O = [\{Ta_6Cl_{12}\}\\ & (OH)_x(H_2O)_{4-x} \cdot 4H_2O + xe^- + xH^+ \ (0 \le x \le 1.5) \end{aligned}$$

Особенно легко окисляются галогенидные анионные комплексы $[\{M_6X_{12}\}X_6]^{2-}$, а галогенидные комплексы $[\{M_6X_{12}\}X_6]^{2-}$, соответственно, являются наиболее стабильными производными кластеров с ядром $\{M_6X_{12}\}^{4+}$. В неводных средах окисленные состояния +3 и +4 оказываются стабильнее, чем в водных. Так, реакция $[\{Nb_6Cl_{12}\}(H_2O)_4Cl_2]\cdot 4H_2O$ с Me_4NCl в абсолютном этаноле дает комплекс $(Me_4N)_4[Nb_6Cl_{18}]$, который можно окислить Cl_2 в $(Me_4N)_2[Nb_6Cl_{18}]$. Обработка $[\{Nb_6Cl_{12}\}(H_2O)_4Cl_2]\cdot 4H_2O$ SOCl $_2$ в при-

сутствии диэтилового эфира позволяет получить $((Et_2O)_2H)_2[Nb_6Cl_{18}]$ в виде крупных темно-зеленых кристаллов. Необычным макроскопическим свойством вещества является способность к кристаллизации в виде крупных полых трубок длиной в несколько сантиметров и диаметром 2 мм. В катионе $((Et_2O)_2H)^+$ две молекулы диэтилового эфира связаны сильной водородной связью с расстоянием O...O~2.439(9) Å. Окислителем в данной реакции выступает $SOCl_2~[84]$.

Облучение $\{Ta_6Br_{12}\}^{2+}$ в деаэрированном солянокислом растворе приводит к фотохимическому окислению кластерного ядра до состояния $\{Ta_6Br_{12}\}^{4+}$ и образованию H_2 . Предполагается, что ключевой этап включает в себя двухэлектронный перенос с ядра $\{Ta_6Br_{12}\}^{2+}$ к молекуле воды, образование $\{Ta_6Br_{12}\}^{4+}$ и координированного гидрид-иона H^- с последующим взаимодействием гидрид ионов с H^+ с образованием H_2 [85].

Исходя из галогенидных комплексов получены комплексы с трифлатными лигандами:

$$\begin{array}{l} (Bu_4N)_2[\{M_6Cl_{12}\}Cl_6] + 6HOSO_2CF_3 \rightarrow \\ \rightarrow (Bu_4N)_2[\{M_6Cl_{12}\}(OSO_2CF_3)_6] + 6HCl. \end{array}$$

при попытках трифлат на такие лиганды, как NCS-, Br- и I-, происходит одно- или двухэлектронное восстановление кластерного ядра. Так, реакция $(Bu_4N)_2[Ta_6Cl_{12}(OSO_2CF_3)_6]$ c Bu_4NX (X = Cl, Br, I, NCS, CN) сопровождается восстановлением, приводящим к $(Bu_4N)_3[Ta_6Cl_{12}X_6]$. Тенденция к восстановлению кластерного ядра и замещению возрастает в ряду $Cl^- < Br^- < NCS^- < I^- < CN^-$ [83]. Примечательно, что лишь в реакции с металлорганическим лигандом $[CpMn(CO)_2(CN)]^-$ замещение не сопровождается восстановлением кластерного ядра и приводит к двенадцатиядерному гетерометаллическому комплексу (Ви₄N)₂ $[(Ta_6Cl_{12})(NC(CO)_2MnCp)_6]$, в котором цианидный лиганд выступает в качестве мостикового по отношению к Та (через атом азота) и Мп (через атом углерода) [86].

Из аквакомплекса $[(Ta_6Br_{12})Br_2(H_2O)_4] \cdot 4H_2O$ и диметилсульфоксида в HCl был получен нейтральный комплекс $[(Ta_6Br_{12})(Dmso)_2Cl_4]$ [57] (рис. 8).

ПЕРСПЕКТИВЫ ПРИМЕНЕНИЯ ОКТАЭДРИЧЕСКИХ ГАЛОГЕНИДНЫХ КЛАСТЕРОВ НИОБИЯ И ТАНТАЛА

Октаэдрические галогенидные кластеры, первые представители которых были получены в самом начале 20 века, долгое время оставались

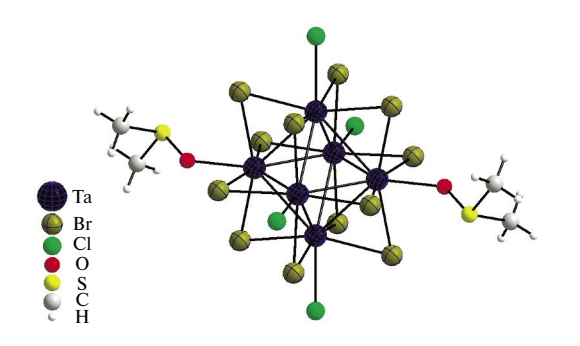


Рис. 8. Строение [(Ta₆Br₁₂)(Dmso)₂Cl₄].

лабораторным курьезом, в лучшем случае удостаиваясь упоминания в учебниках для иллюстрации концепции «кластер». Хотя уже почти 100 лет назад было замечено, что водные растворы «Та₆Вr₁₄» проявляют свойства неорганического красителя и окрашивают шелк в зеленый несмывающийся цвет [87], развития эта идея не получила. Ранние весьма немногочисленные работы сводились к попыткам инжиниринга кристаллов, содержащих кластерные фрагменты, модификации поверхностей, интеркаляции в слоистые матрицы, получение солей с проводящей катионной подрешеткой. Они подробно суммированы в обзоре [1]. Лишь с начала XXI столетия обозначились практически значимые области применения, что в первую очередь связано с гетерогенным катализом и фотокатали-30M.

ГЕТЕРОГЕННЫЙ КАТАЛИЗ

Исследовательская группа из Японии под руководством Т. Тихара и С. Камигути опубликовала серию работ, посвященных изучению каталитической активности галогенидных кластеров ниобия и тантала. В работе использовались $[(M_6X_{12})X_2(H_2O)_4] \cdot 4H_2O$

(M = Nb, Ta; X = Cl, Br), которые активировали с помощью высокотемпературной дегидратации. При этом кластерное ядро останется интактным, а атомы металла с вакансией вместо терминальных лигандов выступают в качестве каталитических центров. Сохранение кластерного ядра было подтверждено с помощью рентгеновской дифракции, спектрометрии КР и анализом дальней тонкой структуры рентгеновских спектров поглощения (EXAFS). Появление активных центров подтверждено методами термогравиметрически-дифференциального термического анализа (ТГ-ДТА), инфракрасной спектрометрии (ИК), инфракрасного спектра адсорбированного пиридина, адсорбции монооксида углерода, титрования кислоты индикаторами Гаммета и элементного анализа. Активация кластера проводилась нагреванием при 200-400°C в течении часа в токе гелия или азота. Конечными продуктами дегидратации оказались $\{M_6Cl_{11}(OH)\}$ $(OH)_2(H_2O)$] и $[\{M_6Cl_{11}(O)\}(OH)(H_2O)_2]$ [88].

При дегидратации на начальном этапе происходит замещение одного из мостиковых хлоридных лигандов на OH- с отщеплением HCl, и возникают два типа активных центров: кислотно-основные центры Бренстеда и координационно-ненасыщенный центр при атоме металла за счет удаления молекулы воды (схема 1). Мостиковый гидроксид за счет повышенной кислотности представляет собой сильную кислоту Бренстеда, в то время как сопряженное основание — мостиковый оксидный лиганд может выступать в качестве основного катализатора [89]. Такие катализаторы эффективны в разнообразных реакциях, таких как дегидрирование спиртов, изомеризация, алкилирование и ацилирование тиолов, циклизации, пиролиз и др. [90-94].

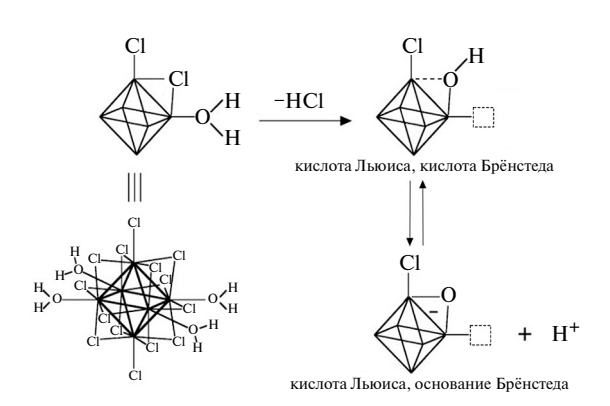


Схема 1. Образование каталитических центров при термической обработке $[(M_6X_{12})X_2(H_2O)_4] \cdot 4H_2O$.

В реакциях дегидрирования первичных и вторичных спиртов измельченные и просеянные (150-200 меш) образцы $[(M_6Cl_{12})Cl_2(H_2O)_4]$ · 4H₂O активировали при 300°C в токе гелия в течение часа. Далее вводили спирт в поток гелия без изменения температуры. В случае дегидратации этанола на ниобиевом кластере каталитическая активность проявлялась в температурном интервале 225-350°C, причем максимальная активность лостигалась при 300-330°C. Основным продуктом был этилен. Селективность по диэтиловому эфиру снижается с повышением температуры. Кластерный бромид ниобия [(Nb₆Br₁₂) $Br_2(H_2O)_4$] · 4H₂O также проявил каталитическую активность, причем основным продуктом при 300°C был этилен. Результаты экспериментов для ряда спиртов представлены в табл. 1.

Весьма подробно были изучены реакции каталитического алкилирования тиолов алкилирующими реагентами разных типов — спиртами, простыми и сложными эфирами, карбонатами, ортоэфирами, алкилагогенидами, олефинами [95].

В качестве тиола использовался фенилмер-каптан C_6H_5SH . В реакции с метанолом в присутствии нанесенного на SiO_2 хлорида ниобия $[(Nb_6Cl_{12})Cl_2(H_2O)_4] \cdot 4H_2O$ практически никакой каталитической активности не наблюдалось ниже 200° С. Каталитическая активность

развивается выше 250°C и увеличивается с повышением температуры, достигая максимума при 400°C с образованием почти исключительно метилфенилсульфида. Побочными реакциями были сочетание фенилмеркаптана с образованием дифенилсульфида и дифенилдисульфида с селективностью 0,2 и 1,8% соответственно. Частота оборота катализатора (ТОF) в течение 2-4 ч при 400°C составила 95,6 ч⁻¹, если предположить, что все молекулы кластера активны. В реакцию с фенилмеркаптаном вводили также алифатические спирты C(2)-C(6) при 400° C. Во всех случаях происходило S-алкилирование, при этом чем длиннее алкильная цепь спирта, тем ниже реакционная способность и селективность по отношению к алкилфенилсульфиду. При использовании первичных спиртов разветвленные алкилсульфиды практически не образовывались. Алкильные катионы, по-видимому, не образуются в качестве промежуточных пролуктов. Реакционная способность вторичного спирта была низкой, а третичный спирт не вступал в реакцию.

Простые эфиры с алкильными группами C(2)-C(4) были также протестированы как алкилирующие агенты для C_6H_5SH в присутствии $[(Nb_6Cl_{12})Cl_2(H_2O)_4] \cdot 4H_2O/SiO_2$ при $400^{\circ}C$. Более короткие алкильные цепи проявляют более высокую селективность в отношении образования алкилфенилсульфида. Несимме-

Таблица 1. Дегидрировани	ие спиртов над галогенидными и	кластерами ^а
--------------------------	--------------------------------	-------------------------

Спирт	Катализатор	Конверсия (%) ^b	Селективность, % ^с			
			1-олефины	<i>цис-</i> 2- олефины	<i>транс</i> -2- олефины	др. ^d
Пропанол-1	$[{Nb_6Cl_{12}}{Cl_2(H_2O)_4}]\cdot 4H_2O$	61.3	97.7	0	0	2.3
	[{Ta ₆ Cl ₁₂ }Cl ₂ (H ₂ O) ₄]·4H ₂ O	9.0	98.9	0	0	1.1
Бутанол-1	$[{Nb_6Cl_{12}}Cl_2(H_2O)_4]\cdot 4H_2O$	27.6	56.2	26.1	14.6	3.1
Пентанол-1	$[{Nb_6Cl_{12}}Cl_2(H_2O)_4]\cdot 4H_2O$	4.8	53.0	26.2	17.4	3.4
Пропанол-2	$[{Nb_6Cl_{12}}{Cl_2(H_2O)_4}\cdot 4H_2O$	100.0	99.9	0	0	0.1
	[{Ta ₆ Cl ₁₂ }Cl ₂ (H ₂ O) ₄]·4H ₂ O	16.2	99.7	0	0	0.3
Бутанол-2	[{Nb ₆ Cl ₁₂ }Cl ₂ (H ₂ O) ₄]·4H ₂ O ^e	73.6	25.5	40.2	34.2	0.1

 $^{^{}a}$ После активации кластера (30 мг) в потоке гелия (1.2 л/ч) при 300 $^{\circ}$ С в течение 1 ч.

^b Конверсия = продукты/(продукты + восстановленный спирт) ×100% (через 5 ч после начала реакции).

 $^{^{}c}$ Конверсия = продукт/смесь продуктов $\times 100\%$ (через 5 ч после начала реакции).

 $^{^{}d}$ Эфиры и ацетали не образуются.

^е Масса катализатора 10 мг.

тричный эфир дает два соответствующих алкилфенилсульфида, предпочтительно с более короткой алкильной цепью. Реакционная способность простых эфиров была выше, чем у спиртов для тех же алкильных групп.

В аналогичных условиях реакции с диметили диэтилкарбонатом также давали соответствующие алкилфенилсульфиды с высокой селективностью. Реакционная способность карбонатов была намного выше реакционной способности спиртов или простых эфиров. В случае несимметричного карбоната были получены два ожидаемых алкилфенилсульфида, причем преобладал более алкилфенилсульфид с более короткой алкильной цепью. При использовании метил- и этилортоформиата при 400°C над ниобиевым кластером конверсия составила 93%, а селективность — 94%. При использовании ацетатов в аналогичных условиях основной реакцией является S-ацетилирование: метил, этил и пропилацетат образуют S-фенилтиоацетат с селективностью 50-75% [96].

Терминальные алкилгалогениды C(4)-C(6) также выступают как алкилирующие агенты. В реакции 1-хлорбутана с C_6H_5SH до 300°C был получен бутилфенилсульфид с селективностью 58%. Чем длиннее алкильная цепь хлоралкана, тем ниже как конверсия, так и селективность алкилирования. Бромоалканы также оказались эффективными реагентами. Реакционная способность бромида аналогичным образом снижается с увеличением длины алкильной цепи. Во всех случаях образовывалось незначительное количество вторичных алкилфенилсульфидов или они вообще не образовывались.

При использовании олефинов как алкилирующих агентов ниже 150°C реакции протекали одинаково как в присутствии, так и в отсутствие

 $[(Nb_6Cl_{12})Cl_2(H_2O)_4] \cdot 4H_2O/SiO_2$ с образованием в основном дифенилдисульфида. Выше 200°С реакционная способность 1-гексена возрастала как в присутствии, так и в отсутствие катализатора, и реакция переключалась на S-алкилирование с образованием H-гексилфенилсульфида. При более высоких температурах $[(Nb_6Cl_{12})Cl_2(H_2O)_4] \cdot 4H_2O/SiO_2$ оказался эффективным катализатором алкилирования. Образования разветвленного алкилфенилсульфида не обнаружено.

В реакциях бензальдегида с кетонами, катализируемых активированным $[(Ta_6Cl_{12})Cl_2(H_2O)_4] \cdot 4H_2O/SiO_2$, наблюдалось образование инденов согласно предлагаемой схеме (схема 2) [97].

Выходы продуктов для разных кетонов сопоставлены в табл. 2.

Каталитическая система $[(Ta_6Cl_{12})Cl_2(H_2O)_4] \cdot 4H_2O/SiO_2$ катализирует многочисленные реакции циклизации (табл. 3).

В реакцию также были вовлечены простые α , ω -дизамещенные алифатические соединения, содержащие группы —OH, —SH или —NH₂ (схема 3). Циклизация $HR(CH_2)_nRH$ (R=0, S или NH; n=4-6) до $(CH_2)_nR$ с отщеплением H_2R протекает селективно на галогенидных кластерных катализаторах при $\geq 200^{\circ}C$ [98, 99].

Термически активированный в атмосфере гелия гидрат $[(Nb_6Cl_{12})Cl_2(H_2O)_4] \cdot 4H_2O$ катализирует пиролиз фенилацетата выше 200°С. Активность достигает максимума при 300°С. Продуктами являются исключительно фенол и кетен. Аналогичную каталитическую активность проявляют бромидный кластер $[(Nb_6Br_{12})Br_2(H_2O)_4] \cdot 4H_2O$ и хлоридный кластер тантала $[(Ta_6Cl_{12})Cl_2(H_2O)_4] \cdot 4H_2O$.

$$\begin{array}{c} O \\ H \end{array} + \begin{array}{c} O \\ -H_2O \\ \end{array} \\ + \begin{array}{c} -H_2O \\ \end{array} \\ + \end{array} \\ \cdots$$

Схема 2. Образование инденов из бензальдегида и 3-пентанона.

Таблица 2. Реакции кетонов с бензальдегидом над $[{Ta_6Cl_{12}}{Cl_2(H_2O)_4}] \cdot 4H_2O/SiO_2^a$

		Селективность, %			
Кетон	Конверсия, %	E-C ₆ H ₅ CHCR ₁ COR ₂	Индены	C ₆ H ₅ R (R=H, CH ₃ , CHCH ₃)	Прочие
Ацетон	23.3	72.3 ($R_1 = H, R_2 = CH_3$)	6.4 ^b	16.3	5.0
Бутанон	8.4	$9.6 (R_1 = H, R_2 = C_2 H_5)$	23.4°	47.9	19.1
2-пентанон	13.8	17.9 ($R_1 = H, R_2 = C_3 H_7$)	31.4 ^d	15.7	16.0
3-пентанон	29.7	$0.0 (R_1 = CH_3, R_2 = C_2H_5)$	78.4 ^e	10.2	11.4
3,3-диметил-2-бутанон (6)	20.0	81.1 ($R_1 = H, R_2 = {}^{t}Bu$)	0.0	8.1	10.8
Е-4-фенил-3-бутен-2-он (3a) ^f	21.6		35.8 ^g	13.9	50.3 ^h

 $[^]a$ *После* активации кластера (100 мг, 2.9 мкмоль) в токе гелия (300 мл/ч) при 400°С в течение 1 ч реакция начиналась с введения кетона (0.575 ммоль/ч) и бензальдегида (58 мл/ч, 0.57 ммоль/ч) в поток без изменения температуры. Анализ проводили через 3 ч после начала реакции.

 f раствор бутилового эфира (15%) в отсутствии бензальдегида.

Таблица 3. Внутримолекулярная циклизация над $[{Ta_6Cl_{12}}Cl_2(H_2O)_4] \cdot 4H_2O/SiO_2$

Реагент	Конверсия, %	Продукт	Селективность, %
OH	26.3		91.0
ОН	100.0		98.9
ОН	99.7		1.1
ОН	99.9		99.9
ОН	9.7		73.0 (1.7 для бензофурана)
NH ₂	100.0		96.9 (2.3 для индола)
NH ₂	99.6	NH	94.3 (4.5 для изоиндола)
SH	56.8	S S	61.8 (10.9 для бензотиофена)

 $^{^{}b}$ 1-метиленинден (2.2%) и 3-метилинден (4.2%).

 $^{^{}c}$ 2-метил-1-метиленинден (4.5%) и 2,3-диметилинден (18.9%).

 $^{^{}d}$ 2-этил-1-метиленинден (13.6%) и 2-этил-3-метиленинден (17.8%).

 $[^]e$ Z-1-этилиден-2-метилинден (45.9%), Е-1-этилиден-2-метилинден (14.7%), 2-метил-3-винилиден (6.1%) и 3-этил-2-метилинден (11.7%).

*g*1-метиленинден (3.5%) и 3-метилинден (32.3%).

 $^{^{}h}$ 4-фенил-2-бутанон, 1-фенил-1-бутен, нафталин и т.д.

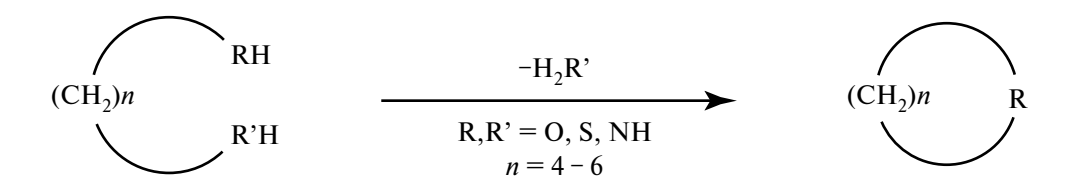


Схема 3. Циклизация α, ω -дизамещенных алифатических соединений.

ФОТОКАТАЛИЗ

Облучение ${Ta_6Br_{12}}^{2+}$ в деаэрированном солянокислом растворе приводит к фотохимическому окислению кластерного ядра до состояния ${Ta_6Br_{12}}^{4+}$ и образованию диводорода [85]. Фотолиз ${Ta_6Br_{12}}^{2+}$ осуществляется эффективнее, если использовать более кислую среду и более коротковолновое излучение. Так, квантовый выход фотохимической реакции в 1М растворе HCl возрастает на два порядка (с 10^{-4} до 10^{-2}) при переходе с 640 на 254 нм. В этом же исследовании предложен механизм, согласно которому фотовозбужденное кластерное ядро $\{Ta_6Br_{12}\}^{2+}$ претерпевает двухэлектронное окисление протоном. Образуются координированные гидрид-ионы, которые с протонами среды образуют водород, а компропорционирование $\{Ta_6Br_{12}\}^{2+}$ с $\{Ta_6Br_{12}\}^{4+}$ приводит к $\{Ta_6Br_{12}\}^{3+}$ [85]. Эта фотохимическая реакция является не каталитическим, а стехиометрическим процессом.

Фотокаталитический процесс был реализован с использованием метанола, уксусной и молочной кислот в качестве жертвенных доноров

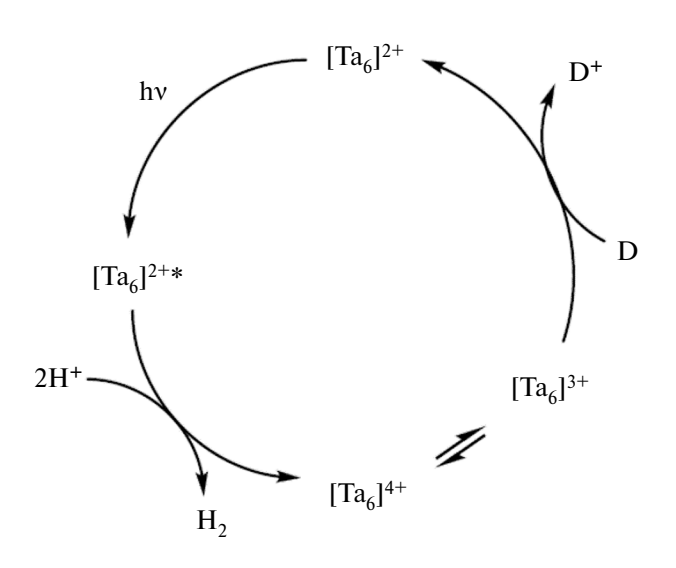


Схема 4. Схема каталитического цикла фотохимического окисления кластерного ядра $\{Ta_6Br_{12}\}$.

электронов (D) и HBr и H_3PO_4 в качестве источников протонов. Источником света выступала ксеноновая лампа. Схема каталитического цикла представлена на схеме 4.

Оптимальной комбинацией с точки зрения выхода Н, и устойчивости кластера оказалось сочетание метанола и НВ гбыло признано оптимальным. С помощью методологии поверхности отклика были установлены оптимальные концентрации метанола (4,83 M) и HBr (0.7 M). Увеличение концентрации кислоты вызывает выпадение кластера в осадок с одновременным снижением выделения водорода. Оптимальные концентрации MeOH и HBr составляют 4,83 и 0,7 моль/л соответственно. Выход Н₂ составил 442 мкмоль/г ч, а частота оборота катализатора — 0.3 мc^{-1} [100]. На данный момент, это самая высокая производительность в реакции выделения водорода (HER — hydrogen evolution reaction), достигнутая на материалах на основе соединений тантала.

Гетерогенно-каталитический вариант был реализован в работе [101], в которой были получены наноструктурированные гибридные материалы нанесением кластера из раствора [{Та₆Вr₁₂} $Br_2(H_2O)_4$] · $4H_2O$ в тетрагидрофуране на оксид графена. Закрепление происходит за счет координации кластерных групп $\{Ta_6Br_{12}\}^{2+}$ к карбоксилатным и гидроксильным группам оксида графена, как следует из данных ИК- и КР-спектров. Эти наногибриды показали более высокие выходы в гетерогенных реакциях фотовосстановления водорода из газовой фазы водяной пар метанол — HBr, чем взятые по отдельности компоненты. Усиление фотокаталитического эффекта объясняется тем, что координационная иммобилизация кластера на поверхности оксида графена способствует переносу электрона из фотовозбужденного кластера в π-систему графеноксида (рис. 9).

Лучшая каталитическая эффективность соответствует материалу с 20% по массе загрузкой $[\{Ta_6Br_{12}\}Br_2(H_2O)_4]\cdot 4H_2O$. Стоит подчеркнуть, что хотя достигнутая активность катализатора

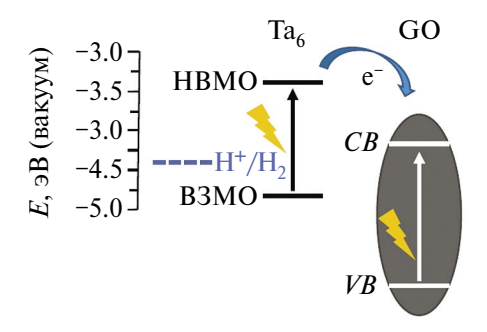


Рис. 9. Энергетическая диаграмма переноса электрона с орбитали HCMO [$\{Ta_6Br_{12}\}Br_2(H_2O)_4\}$ в π -систему графеноксида.

(4 мкмоль Γ^{-1} ч⁻¹) имеет тот же порядок величины, что и активность других танталовых фотокатализаторов, таких как MTaO₃ (M = Li, Na, Mg) и танталаты MTa₂O₆ (M = Mg, Ba) [102], эта величина существенно (на два порядка) уступает активности, достигнутой в гомогенно-каталитическом варианте. Достоинством гетерогенного варианта является то, что не происходит падения каталитической активности в течении трех послеловательных шиклов по 24 часа.

БИОМЕДИЦИНСКИЕ ПРИМЕНЕНИЯ

Рентгеновская компьютерная томография является важный инструментом визуализации внутренних органов в клинических исследованиях. Подбор контрастных агентов, систем визуализации, схем сбора данных и стратегии анализа изображений позволяют осуществлять визуализацию за счет ослабления рентгеновских лучей в изучаемом органе и появления сигнала на компьютерной томограмме. На сегодняшний день иод (Z = 53) остается наиболее используемым элементом в клинической практике, и коммерческие контрастные агенты представляют собой иодорганические соединения. Тантал имеет К-край поглощения при 67 кэВ и обладает высоким коэффициентом ослаблением рентгеновских лучей, обеспечивая больший контраст по сравнению с иодом [103]. Благодаря этим свойствам кристаллизация с $[{Ta_6Br_{12}}Br_2(H_2O)_4]$ · • 4Н₂О использовалась для определения фазы изоморфных производных белков в биомакромолекулярной кристаллографии [104]. Тантал также является нетоксичным абиогенным элементом. Предложены рентгеноконтрастные препараты на основе наночастиц металлического тантала, Та₂O₅ и LaTaO₄ [105, 106]. В связи с этим привлекательной представляется возможность использования иодидных кластеров тантала $\{Ta_6I_{12}\}^{2+}$, сочетающих в одном кластерном

ядре 18 тяжелых атомов (6Ta + 12I), в качестве рентгеноконтрастных средств. Однако аквакомплекс $[Ta_6I_{12}(H_2O)_6]^{2+}$ нестабилен в водной среде и деградирует в течение нескольких дней с образованием Ta_2O_5 . Присутствие полистиролсульфоната повышает стабильность кластера за счет образования частиц стехиометрии $Na[Ta_6I_{12}(H_2O)_6](C_7H_7SO_3)_3$, имеющих микронные размеры. При их редиспергировании в воде образуются коллоидные растворы, обладающие высокой рентгеновской плотностью, в 8 раз превосходящей таковую для стандартного коммерческого препарата — йогексола [29].

В связи с этим встает вопрос о потенциальной токсичности октаэдрических кластеров $\{M_6X_{12}\}$. Для кластеров тантала данные о токсичности отсутствуют, а для аквакомплекса [$\{Nb_6Cl_{12}\}$ $(H_2O)_6]^{2+}$ была изучена цитотоксичность по отношению к раковым клеткам эпителия человека линии Нер-2. Показано, что кластер проникает через мембрану в клетку, где способен проникать в ядро и митохондрии и связываться с ДНК. Цитотоксичность обусловлена способностью кластера генерировать активные формы кислорода, видимо, за счет окислительно-восстановительных реакций. Интересно, что присутствие у-циклодекстрина снижает цитотоксичность кластера, несмотря на усиление клеточного поглощения. Способность кластера проникать во внутренние структуры клетки можно использовать для доставки различных биологически активных молекул, предварительно координированных к кластерному ядру [52]. Вопрос о том, насколько эти результаты можно экстраполировать на поведение рентгеноконтрастных наночастиц $Na[Ta_6I_{12}(H_2O)_6](C_7H_7SO_3)_3$, остается открытым.

ФИЛЬТРЫ ДЛЯ УФ-И БЛИЖНЕГО ИК-ИЗЛУЧЕНИЯ

Концепция новых современных материалов энергосбережения для экологически чистого строительства требует поиска материалов, прозрачных в видимом диапазоне длин волн и позволяющих управлять солнечным светом и передачей тепла. Следовательно, необходимо найти блокаторы УФ-излучения, задерживающие излучение в диапазоне 300—400 нм, которое разлагает органические вещества, включая строительные полимеры, с образованием вредных летучих органических соединений. С другой стороны, ближние ИК-лучи (700—3000 нм) ответственны за тепловое излучение. Эффективный контроль

пропускания окнами солнечной энергии оптимизирует таким образом работу систем кондиционирования воздуха. Поскольку обычные стекла и полимеры, используемые в зданиях, не отражают и не поглощают ближнее ИК-излучение, требуются специальные солнцезащитные покрытия. Октаэдрические кластеры ниобия и тантала обладают богатыми многополосными электронными спектрами поглощения, которые захватывают УФ-, видимую и ближнюю ИК-области. Кроме того, кластеры способны обратимо переключаться между тремя состояниями окисления, что в перспективе позволяет создавать переключаемые фильтры, поскольку окислительно-восстановительные переходы сопровождаются характерными изменениями электронных спектров поглощения. Эта концепция была реализована в работах французской группы С. Кордье путем замены катиона калия в $K_2[Ta_6Br_{18}]$ на додецил-11-(метакрилоилокси)ундецил)диметиламмоний. Этот катион несет метакрилатные группы, и полученная соль может быть сополимеризована с метилметакрилатом. Таким образом, были получены полимерные пленки с включенным кластерным анионом. Эти пленки демонстрируют свойства фильтров для УФи ближнего ИК-излучения, причем максимумы поглощения зависят от зарядового состояния аниона $[Ta_6Br_{18}]^{2-}$ или $[Ta_6Br_{18}]^{4-}$. Дальнейшая настройка может быть обеспечена, например, заменой части атомов тантала в кластере на атомы ниобия [107]. Действительно, [{Nb₅TaCl₁₂} Cl_6 l^{4-} обладает интенсивным поглощением, подходящим для применения в системах контроля солнечной активности, которое комплементарно оксиду индия-олова (ITO) Интегрированный в поливинилпирролидон ($\Pi B \Pi$) и осажденный на ITO кластер дает композитное стекло, которое позволяет фильтровать самые активные компоненты УФ- и ближних ИК-волн. Недостатком пока является то, что матрица ПВП водорастворима и демонстрирует плохие механические свойства [108].

В заключение оьметим, что за четверть века с момента написания обзора [1] наблюдается устойчивый рост интереса к химии галогенидных кластеров ниобия и тантала. За это время впервые обозначились области возможного применения таких соединений, которые включают катализ и фотокатализ, получение рентгеноконтрастных препаратов, фильтров для УФ- и ближнего ИК-изучения, химических источников тока. Обладая высоким синтетическим и прикладным потенциалом, кластерные галогениды ниобия

и тантала внесут весомый вклад в развитие коорлинационной химии.

Авторы заявляют, что у них нет конфликта интересов.

БЛАГОДАРНОСТИ

Авторы благодарят за поддержку Министерство науки и высшего образования Российской Федерации (№ 121031700313-8).

СПИСОК ЛИТЕРАТУРЫ

- Prokopuk N., Shriver D.F. // Adv. Inorg. Chem. 1998.
 V. 56. P. 1.
- 2. *Artelt H.M.*, *Meyer G.* // Z. Kristallogr. Cryst. Mater. 1993. V. 206. № 2. P. 306.
- 3. *Simon A., Georg Schnering H., Wöhrle H., Schäfer H. //* Z. Anorg. Allg. Chem. 1965. V. 339. № 3–4. P. 155.
- 4. *Lin Z., Williams I.D.* // Polyhedron. 1996. V. 15. № 19. P. 3277.
- Schäfer H., Gerken R., Scholz H. // Z. Anorg. Allg. Chem. 1965. V. 335. № 1–2. P. 96.
- 6. *Schäfer H.*, *Dohmann K.-D.* // Z Anorg Allg Chem. 1959. V. 300. № 1–2. P. 1.
- 7. *Schäfer H., Schnering H.G., Niehues K.J., Nied-er-Vahrenholz H.G.* // J. Less. Comm. Met. 1965. V. 9. № 2. P. 95.
- 8. *Von Schnering H.G., Vu D., Jin S.L., Peters K. // Z.* Kristallogr. 1999. V. 214. № 1. P. 15.
- 9. *Habermehl K., Mudring A., Meyer G.* // Eur. J. Inorg. Chem. 2010. P. 4075.
- 10. McCarley R.E., Boatman J.C. // Inorg. Chem. 1965. V. 4. P. 1486.
- 11. *Hughes B.G., Meyer J.L., Fleming P.B., McCarley R.* // Inorg Chem. 1970. V. 9. № 6. P. 1343.
- 12. *Sokolov M.N., Abramov P.A., Mikhailov M. A. et al.* // Z. Anorg. Allg. Chem. 2010. V. 636. № 8. P. 1543.
- 13. Shamshurin M.V., Abramov P.A., Mikhaylov M.A., Sokolov M.N. // J. Struct. Chem. 2022. V. 63. № 1. P. 81.
- 14. *Womelsdorf H.*, *Meyer H.-J.*, *Lachgar*, *A.* // Z. Anorg. Allg. Chem. 1997. V. 623. № 1–6. P. 908.
- 15. *Baján B.*, *Meyer H.* // Z. Anorg. Allg. Chem. 1997. V. 623. № 1–6. P. 791.
- Ströbele M., Meyer H-J. // Z. Naturforsch. 2001. 56b. P. 1025.
- 17. *Lachgar A., Meyer H.-J.* // J Solid State Chem. 1994. V. 110. № 1. P. 15.
- 18. *Womelsdorf H.*, *Meyer H.-J.* // Z Kristallogr Cryst Mater. 1995. V. 210. № 8. P. 608.
- 19. *Duraisamy T., Hay D. N., Messerle L. et al.* // Inorg Synth. 2014. V. 36. P. 1.

- 20. *Whittaker A.G., Mingos D.M.P.* // Dalton Trans. 1995. № 12. P. 2073.
- 21. Sitar J., Lachgar A., Womelsdorf H. et al. // J. Solid State Chem. 1996. V. 122. № 2. P. 428.
- 22. *Nägele A., Anokhina E., Sitar J. et al.* // Z. Naturforsch. B. 2000. V. 55. № 2. P. 139.
- Duraisamy T., Lachgar A. // Acta Crystallogr. C. 2003.
 V. 59. № 4. P. 127.
- 24. *Duraisamy T., Qualls J.S., Lachgar A.* // J. Solid State Chem. 2003. V. 170. № 2. P. 227.
- 25. Cordier S., Perrin C., Sergent M. // Z. Anorg. Allg. Chem. 1993. V. 619. № 4. P. 621.
- 26. *Ramlau R.*, *Duppel V.*, *Simon A. et al.* // J. Solid State Chem. 1998. V. 141. № 1. P. 140.
- 27. *Cordier S.*, *Perrin C.*, *Sergent M.* //J. Solid State Chem. 1995. V. 118. №. 2. P. 274.
- 28. *Kòrösy.*, *F.* // J. Am. Chem. Soc. 1939. V. 61. № 4. P. 838.
- 29. *Shamshurin M. V., Mikhaylov M. A., Sukhikh T. et al.* // Inorg Chem. 2019. V. 58. № 14. P. 9028.
- 30. *Bauer D., Schnering H.G., Schäfer H.* // J. Less Comm. Met. 1968. V. 14. № 4. P. 476.
- 31. *Sägebarth M.*, *Simon A.* // Z. Anorg. Allg. Chem. 1990. V. 587. № 1. P. 119.
- 32. *Cordier S., Hernandez O., Perrin C.* // J. Fluorine Chem. 2001. V. 107. №. 2. P. 205.
- 33. *Cordier S., Simon A.* // Solid State Sci. 1999. V. 1. №. 4. P. 199.
- 34. Cordier S., Hernandez O., Perrin C. //J. Solid State Chem. 2001. V. 158. № 2. P. 327.
- 35. *Cordier S., Hernandez O., Perrin C.* //J. Solid State Chem. 2002. V. 163. №.. 1. P. 319.
- 36. *Cordier S.*, *Perrin C.* //J. Solid State Chem. 2004. V. 177. № 3. P. 1017.
- 37. *Mingos. D.M P.* // Acc. Chem. Res. 1984. V. 17. № 9. P. 311.
- 38. *Robin M.B., Kuebler N.A.* // Inorg Chem. 1965. V. 4. № 7. P. 978.
- 39. *Cotton F.A.*, *Haas T.E.* // Inorg. Chem. 1964. V. 3. № 1. P. 10.
- 40. *Schott E., Zarate X., Arratia-Pérez R.* // Polyhedron. 2012. V. 36. № 1. P. 127.
- 41. *Shamshurin M.V., Martynova., S.A., Sokolov.M. N. et al.* // Polyhedron. 2022. V. 226. P. 116107.
- 42. *Juza D., Schäfer H.* // Z. Anorg. Allg. Chem. 1970. V. 379. № 2. P. 122.
- 43. *Perrin C., Ihmaine S., Sergent M.* // New J. Chem. 1988. V. 12. № 6–7. P. 321.
- 44. *Cordier S., Perrin C., Sergent M.* // Z. Anorg. Allg. Chem. 1993. V. 619. № 4. P. 621.
- 45. *Ihmaïne S., Perrin C., Peña O. et al.* // Physica. B. 1990. V. 163. P. 615.
- 46. *Schäfer H.*, *Spreckelmeyer B.* // J. Less-Comm. Met. 1966. V. 11. № 1. P. 73.

- 47. *Vojnović M., Antolić S., Kojić-Prodić B. et al.* // Z. Anorg, Allg. Chem. 1997. V. 623. № 8. P. 1247.
- 48. *Simon A., von Schnering H.-G., Schäfer H.* // Z. Anorg. Allg. Chem. 1968. V. 361. № 5–6. P. 235.
- 49. *Koknat F. W., McCarley R. E.* // Inorg. Chem. 1972. V. 11. P. 812.
- 50. Wilmet M., Lebastard C., Sciortino F. et al. // Dalton Trans. 2021. V. 50. P. 8002.
- 51. *Kamiguchi S., Watanabe M., Kondo K. et al.* // J. Mol. Cat. A. 2003. V. 203. P. 153.
- Ivanov A.A., Pozmogova T.N., Solovieva A.O. et al. // Chem. Eur. J. 2020. V. 26. P. 7479. https://doi.org/10.1002/chem.202000739.
- 53. *Moussawi M.A.*, *Leclerc-Laronze N.*, *Floquet S. et al.* // J. Am. Chem. Soc. 2017. V. 139. P. 12793.
- 54. *Širac S., Planinić P., Marić L. et al.* // Inorg. Chim. Acta. 1998. V. 271. № 1–2. P. 239.
- 55. Brničevič N., Nothig-Hus D., Kojic-Prodic B. et al. // Inorg. Chem. 1992. V. 31. № 19. P. 3924.
- Beck U., Simon A., Brničević N. et al. // Croat Chem Acta. 1995. V. 68. P. 837.
- 57. *Brničevič N., Muštovič F., McCarley R.E.* // Inorg. Chem. 1988. V. 27. P. 4532.
- Flemming A., Köckerling M. // Angew. Chem. Int. Ed. 2009. V. 48. P. 2605.
- Schröder F., Köckerling M. // J. Clust. Sci. 2022.
 V. 22. P. 1.
- 60. *Schröder F., Köckerling M.* // Z. Anorg. Allg. Chem. 2021. V. 647. P. 1625.
- 61. *Reckeweg O., Meyer H.* // Z. Anorg. Allg. Chem. 1996. V. 622. № 3. P. 411.
- 62. *Naumov N.G.*, *Cordier S.*, *Perrin C.* // Solid State Sci. 2003. V. 5. № 10. P. 1359.
- 63. *Meyer H.-J.* // Z Anorg Allg Chem. 1995. V. 621, № 6. P. 921.
- 64. *Pigorsch A., Köckerling M.* // Cryst Growth Des. 2016. V. 16, № 8. P. 4240.
- 65. Shamshurin M., Gushchin A., Adonin S. et al. // Inorg. Chem. 2022. V. 61. № 42. P. 16586.
- 66. Yan B., Zhou H., Lachgar A. // Inorg Chem. 2003. V. 42. № 26. P. 8818.
- 67. *Zhang J.-J., Lachgar A.* // Inorg Chem. 2015. V. 54. № 3. P. 1082.
- 68. *Fleming A., König J., Köckerling M.* // Z. Anorg. Allg. Chem. 2013. V. 639. P. 2527.
- 69. *Klendworth D.D., Walton R.A.* // Inorg. Chem. 1981. V. 20. P. 1151.
- 70. *Field R.A., Kepert D.L.* // J. Less Comm. Met. 1967. V. 13. № 4. P. 378.
- 71. *Imoto H. Hayakawa S., Morita N., Saito T.* // Inorg. Chem. 1990. V. 29. № 10. P. 2007.
- 72. *Field R.A., Kepert D.L., Robinson B.W. et al.* // Dalton Trans. 1973. V. 18. P. 1858.

- 73. Sperlich E., König J., Weiβ D.H. et al. // Z. Anorg. Allg. Chem. 2019. V. 645. P. 233.
- Weiβ D.H., Schröder F., Köckerling M. // Z. Anorg. Allg. Chem. 2017. V. 643. P. 345.
- 75. *Sperlich E., Köckerling M.* // ChemistryOpen. 2021. V. 10. P. 248.
- 76. *Von Schnering H.G.*, *Vu D.*, *Jin S.L. et al.* // Z. Kristallogr. 1999. V. 214. № 1. P. 15.
- 77. *Kuhn A.*, *Dill S.*, *Meyer H.J.* // Z. Anorg. Allg. Chem. 2005. V. 631. № 9. P. 1565.
- 78. *Espenson J.H., Boone D.J.* // Inorg. Chem. 1968. V. 7. № 4. P. 636.
- 79. *Jacobson R.A.*, *Thaxton C.B.* // Inorg. Chem. 1971. V. 10. № 7. P. 1460.
- 80. *Михайлов М.А.* Октаэдрические галогенидные кластерные комплексы ниобия, тантала, молибдена, вольфрама: дис. ... канд. хим. наук. Новосибирск: ИНХ СО РАН, 2013.
- 81. *Klendworth D.D., Walton R.A.* // Inorg. Chem. 1981. V. 20. № 4. P. 1151.
- 82. *Beck U., Simon A., Širac S. et al.* // Z. Anorg. Allg. Chem. 1997. V. 623. № 1. P. 59.
- 83. *Prokopuk N., Weinert C. S., Kennedy V. O. et al.* // Inorg. Chim. Acta. 2000. V. 300. P. 951.
- 84. 84. *König J., Köckerling M.* // Chem. Eur. J. 2019. V. 25. № 61. P. 13836.
- 85. 85. Vogler A., Kunkely H. // Inorg. Chem. 1984. V. 23. № 10. P. 1360.
- 86. *Prokopuk N., Kennedy V.O., Stern C.L. et al.* // Inorg. Chem. 1998. V. 37. № 19. P. 5001.
- 87. *Chapin W. H.* // J. Am. Chem. Soc. 1910. V. 32. № 3. P. 323.
- 88. *Kamiguchi S., Nagashima S., Chihara., T. //* Metals. 2014. V. 4. P. 84.
- 89. *Kamiguchi S., Nishida S., Kurokawa H. et al.* // J. Mol. Catal. A. 2005. V. 226. P. 1.
- 90. Nagashima S., Kamiguchi S., Chihara T. // Metals. 2014. V. 4. P. 235.

- 91. Kamiguchi S., Noda M., Miyagishi Y. et al. // J. Mol. Catal. A. 2003. V. 195. P. 159.
- 92. Nagashima S., Kamiguchi S., Ohguchi S. et al. // J. Clust. Sci. 2011. V. 22. P. 647.
- 93. Kamiguchi S., Takahashi I., Kurokawa H. et al. // Appl. Catal. A. 2006. V. 309. P. 70.
- 94. Kamiguchi S., Nakamura A., Suzuki A. et al. // J. Catal. 2005. V. 230. P. 204.
- Nagashima S., Kudo K., Yamazaki H. et al. // Appl. Catal. A. 2013. V. 450. P. 50.
- Nagashima S., Yamazaki H., Kudo K. et al. // Appl. Catal. A. 2013. V. 464. P. 332.
- Kamiguchi S., Nishida S., Takahashi I. et al. // J. Mol. Catal. A. 2006. V. 255. P. 117.
- 98. Nagashima S., Kamiguchi S., Kudo K. et al. // Chem. Lett. 2011. V. 40. P. 78.
- 99. *Nagashima S., Sasaki T., Yamazaki H.* Proceedings of the 7th International Symposium on Acid-Base Catalysis. Tokyo (Jpn): 2013. PA-051.
- 100. *Hernández J. S., Guevara D., Shamshurin M. et al.* // Inorg. Chem. 2023. V. 62. № 46. P. 19060.
- 101. Hernández J.S., Shamshurin M., Puche M. et al. // Nanomaterials. 2022. V. 12. P. 3647.
- 102. Kato H., Kudo A. // Chem. Phys. Lett. 1998. V. 295. P. 487.
- 103. *Butts M.D., Torres A.S., Fitzgerald P.F. et al.* // Invest. Radiol. 2016. V. 51. P. 786.
- 104. *Dahms S.O., Kuester M., Streb C. et al.* // Acta Crystallogr. D. 2013. V. 69. P. 284.
- 105. Зуев М.Г., Ларионов Л.П. Танталовые рентгеноконтрастные вещества. Екатеринбург: УрО РАН, 2002. 155 с.
- 106. Chakravarty S., Hix J.M.L., Wiewiora K.A. et al. // Nanoscale. 2020. V. 12. P. 7720.
- 107. Lebastard C., Wilmet M., Cordier S. et al. // Nanomaterials. 2022. V. 12. P. 2052.
- 108. Lebastard C., Wilmet M., Cordier S. et al. // Sci. Tech. Adv. Mater. 2022. V. 23. P. 446.

Octahedral Halide Clusters of Niobium and Tantalum Bearing the Cluster Core $\{M_6X_{12}\}$

M. V. Shamshurin^a and M. N. Sokolov^{a, *}

^a Nikolaev Institute of Inorganic Chemistry, Siberian Branch, Russian Academy of Sciences, Novosibirsk, Russia *e-mail: caesar@niic.nsc.ru

Synthesis methods, molecular and electronic structures, and reactivity of the family of the octahedral clusters of niobium and tantalum halides bearing the $\{M_6X_{12}\}$ cluster core are reviewed. Possible fields of the practical use of this class of compounds are considered.

Keywords: niobium, tantalum, halides, clusters

REFERENCES

- Prokopuk N., Shriver D.F. // Adv. Inorg. Chem. 1998.
 V. 56. P. 1.
- 2. *Artelt H.M., Meyer G.* // Z. Kristallogr. Cryst. Mater. 1993. V. 206. № 2. P. 306.
- 3. *Simon A.*, *Georg Schnering H.*, *Wöhrle H.*, *Schäfer H.* // Z. Anorg. Allg. Chem. 1965. V. 339. № 3–4. P. 155.
- 4. *Lin Z.*, *Williams I.D.* // Polyhedron. 1996. V. 15. № 19. P. 3277.
- Schäfer H., Gerken R., Scholz H. // Z. Anorg. Allg. Chem. 1965. V. 335. № 1–2. P. 96.
- 6. *Schäfer H.*, *Dohmann K.-D.* // Z Anorg Allg Chem. 1959. V. 300. № 1–2. P. 1.
- Schäfer H., Schnering H.G., Niehues K.J., Nieder-Vahrenholz H.G. // J. Less. Comm. Met. 1965.
 V. 9. № 2. P. 95.
- 8. *Von Schnering H.G.*, *Vu D.*, *Jin S.L.*, *Peters K.* // *Z*. Kristallogr. 1999. V. 214. № 1. P. 15.
- Habermehl K., Mudring A., Meyer G. // Eur. J. Inorg. Chem. 2010. P. 4075.
- McCarley R.E., Boatman J.C. // Inorg. Chem. 1965.
 V. 4. P. 1486.
- 11. *Hughes B.G., Meyer J.L., Fleming P.B., McCarley R.* // Inorg Chem. 1970. V. 9. № 6. P. 1343.
- 12. *Sokolov M.N.*, *Abramov P.A.*, *Mikhailov M. A. et al.* // Z. Anorg. Allg. Chem. 2010. V. 636. № 8. P. 1543.
- 13. Shamshurin M.V., Abramov P.A., Mikhaylov M.A., Sokolov M.N. // J. Struct. Chem. 2022. V. 63. № 1. P. 81.
- 14. *Womelsdorf H., Meyer H.-J., Lachgar, A.* // Z. Anorg. Allg. Chem. 1997. V. 623. № 1–6. P. 908.
- 15. *Baján B., Meyer H.* // Z. Anorg. Allg. Chem. 1997. V. 623. № 1–6. P. 791.
- Ströbele M., Meyer H-J. // Z. Naturforsch. 2001. 56b. P. 1025.
- 17. *Lachgar A.*, *Meyer H.-J.* // J Solid State Chem. 1994. V. 110. № 1. P. 15.
- 18. Womelsdorf H., Meyer H.-J. // Z Kristallogr Cryst Mater. 1995. V. 210. № 8. P. 608.
- 19. *Duraisamy T., Hay D. N., Messerle L. et al.* // Inorg. Synth. 2014. V. 36. P. 1.
- 20. *Whittaker A.G., Mingos D.M.P.* // Dalton Trans. 1995. № 12. P. 2073.
- 21. Sitar J., Lachgar A., Womelsdorf H. et al. // J. Solid State Chem. 1996. V. 122. № 2. P. 428.
- 22. *Nägele A., Anokhina E., Sitar J. et al.* // Z. Naturforsch. B. 2000. V. 55. № 2. P. 139.
- 23. *Duraisamy T., Lachgar A.* // Acta Crystallogr. C. 2003. V. 59. № 4. P. 127.
- 24. *Duraisamy T., Qualls J.S., Lachgar A.* // J. Solid State Chem. 2003. V. 170. № 2. P. 227.
- 25. 25. Cordier S., Perrin C., Sergent M. // Z. Anorg. Allg. Chem. 1993. V. 619. № 4. P. 621.
- 26. *Ramlau R.*, *Duppel V.*, *Simon A. et al.* // J. Solid State Chem. 1998. V. 141. № 1. P. 140.

- 27. *Cordier S.*, *Perrin C.*, *Sergent M.* //J. Solid State Chem. 1995. V. 118. №. 2. P. 274.
- 28. Kòrösy., F. // J. Am. Chem. Soc. 1939. V. 61. № 4. P. 838.
- 29. *Shamshurin M. V., Mikhaylov M. A., Sukhikh T. et al.* // Inorg Chem. 2019. V. 58. № 14. P. 9028.
- 30. *Bauer D., Schnering H.G., Schäfer H.* // J. Less Comm. Met. 1968. V. 14. № 4. P. 476.
- 31. *Sägebarth M., Simon A.* // Z. Anorg. Allg. Chem. 1990. V. 587. № 1. P. 119.
- 32. *Cordier S., Hernandez O., Perrin C.* // J. Fluorine Chem. 2001. V. 107. № 2. P. 205.
- Cordier S., Simon A. // Solid State Sci. 1999. V. 1. №. 4. P. 199.
- 34. *Cordier S., Hernandez O., Perrin C.* //J. Solid State Chem. 2001. V. 158. № 2. P. 327.
- 35. *Cordier S., Hernandez O., Perrin C.* //J. Solid State Chem. 2002. V. 163. №.. 1. P. 319.
- 36. *Cordier S.*, *Perrin C.* //J. Solid State Chem. 2004. V. 177. № 3. P. 1017.
- 37. *Mingos. D.M P.* // Acc. Chem. Res. 1984. V. 17. № 9. P. 311.
- 38. *Robin M.B.*, *Kuebler N.A.* // Inorg. Chem. 1965. V. 4. № 7. P. 978.
- 39. *Cotton F.A.*, *Haas T.E.* // Inorg. Chem. 1964. V. 3. № 1. P. 10.
- 40. *Schott E., Zarate X., Arratia-Pérez R.* // Polyhedron. 2012. V. 36. № 1. P. 127.
- 41. *Shamshurin M.V.*, *Martynova.*, *S.A.*, *Sokolov.M.N. et al.* // Polyhedron. 2022. V. 226. P. 116107.
- 42. *Juza D.*, *Schäfer H.* // Z. Anorg. Allg. Chem. 1970. V. 379. № 2. P. 122.
- 43. *Perrin C., Ihmaine S., Sergent M.* // New J. Chem. 1988. V. 12. № 6–7. P. 321.
- 44. *Cordier S., Perrin C., Sergent M.* // Z. Anorg. Allg. Chem. 1993. V. 619. № 4. P. 621.
- 45. *Ihmaïne S., Perrin C., Peña O. et al.* // Physica. B. 1990. V. 163. P. 615.
- 46. *Schäfer H., Spreckelmeyer B.* // J. Less-Comm. Met. 1966. V. 11. № 1. P. 73.
- 47. *Vojnović M., Antolić S., Kojić-Prodić B. et al.* // Z. Anorg, Allg. Chem. 1997. V. 623. № 8, P. 1247.
- 48. *Simon A., von Schnering H.-G., Schäfer H.* // Z. Anorg. Allg. Chem. 1968. V. 361. № 5–6. P. 235.
- Koknat F. W., McCarley R. E. // Inorg. Chem. 1972.
 V. 11. P. 812.
- 50. Wilmet M., Lebastard C., Sciortino F. et al. // Dalton Trans. 2021. V. 50. P. 8002.
- 51. *Kamiguchi S., Watanabe M., Kondo K. et al.* // J. Mol. Cat. A. 2003. V. 203. P. 153.
- 52. *Ivanov A.A., Pozmogova T.N., Solovieva A.O. et al.* // Chem. Eur. J. 2020. V. 26. P. 7479. https://doi.org/10.1002/chem.202000739.
- 53. *Moussawi M.A.*, *Leclerc-Laronze N.*, *Floquet S. et al.* // J. Am. Chem. Soc. 2017. V. 139. P. 12793.
- 54. 54. *Širac S., Planinić P., Marić L. et al.* // Inorg. Chim. Acta. 1998. V. 271. № 1–2. P. 239.

- 55. *Brničevič* N., *Nothig-Hus* D., *Kojic-Prodic* B. *et al.* // Inorg. Chem. 1992. V. 31. № 19. P. 3924.
- Beck U., Simon A., Brničević N. et al. // Croat Chem Acta. 1995. V. 68. P. 837.
- 57. Brničevič N., Muštovič F., McCarley R.E. // Inorg Chem. 1988, V. 27. P. 4532.
- 58. *Flemming A., Köckerling M.* // Angew. Chem. Int. Ed. 2009. V. 48. P. 2605.
- Schröder F., Köckerling M. // J. Clust. Sci. 2022. V. 22.
 P. 1.
- Schröder F., Köckerling M. // Z. Anorg. Allg. Chem. 2021. V. 647. P. 1625.
- 61. *Reckeweg O., Meyer H.* // Z. Anorg. Allg. Chem. 1996. V. 622. № 3. P. 411.
- 62. *Naumov N.G., Cordier S., Perrin C.* // Solid State Sci. 2003. V. 5. № 10. P. 1359.
- 63. *Meyer H.-J.* // Z Anorg Allg Chem. 1995. V. 621, № 6. P. 921.
- 64. *Pigorsch A., Köckerling M.* // Cryst Growth Des. 2016. V. 16, № 8. P. 4240.
- 65. Shamshurin M., Gushchin A., Adonin S. et al. // Inorg. Chem. 2022. V. 61. № 42. P. 16586.
- 66. *Yan B., Zhou H., Lachgar A.* // Inorg Chem. 2003. V. 42. № 26. P. 8818.
- 67. *Zhang J.-J.*, *Lachgar A*. // Inorg Chem. 2015. V. 54. № 3. P. 1082.
- 68. *Fleming A., König J., Köckerling M.* // Z. Anorg. Allg. Chem. 2013. V. 639. P. 2527.
- Klendworth D.D., Walton R.A. // Inorg. Chem. 1981.
 V. 20. P. 1151.
- 70. *Field R.A., Kepert D.L.* // J. Less Comm. Met. 1967. V. 13. № 4. P. 378.
- 71. *Imoto H. Hayakawa S., Morita N., Saito T.* // Inorg Chem. 1990. V. 29. № 10. P. 2007.
- 72. *Field R.A., Kepert D.L., Robinson B.W. et al.* // Dalton Trans. 1973. V. 18. P. 1858.
- 73. Sperlich E., König J., Weiβ D.H. et al. // Z. Anorg. Allg. Chem. 2019. V. 645. P. 233.
- Weiβ D.H., Schröder F., Köckerling M. // Z. Anorg. Allg. Chem. 2017. V. 643. P. 345.
- Sperlich E., Köckerling M. // ChemistryOpen. 2021.
 V. 10. P. 248.
- 76. *Von Schnering H.G.*, *Vu D.*, *Jin S.L. et al.* // Z. Kristallogr. 1999. V. 214. № 1. P. 15.
- 77. *Kuhn A., Dill S., Meyer H.J.* // Z. Anorg. Allg. Chem. 2005. V. 631. № 9. P. 1565.
- 78. *Espenson J.H., Boone D.J.* // Inorg. Chem. 1968. V. 7. № 4. P. 636.
- 79. *Jacobson R.A.*, *Thaxton C.B.* // Inorg. Chem. 1971. V. 10. № 7. P. 1460.
- 80. *Mikhailov M.A.* Octahedral cluster niobium, tantalum, molybdenum, and tungsten halide complexes: Cand. Sci. (Chem.) Dissertation, Novosibirsk: Institute of Inorganic Chemistry, Siberian Branch of the Russian Academy of Sciences, 2013.
- 81. *Klendworth D.D.*, *Walton R.A.* // Inorg. Chem. 1981. V. 20. № 4. P. 1151.

- 82. Beck U., Simon A., Širac S. et al. // Z. Anorg. Allg. Chem. 1997. V. 623. № 1. P. 59.
- 83. *Prokopuk N., Weinert C. S., Kennedy V. O. et al.* // Inorg, Chim. Acta. 2000. V. 300. P. 951.
- 84. *König J., Köckerling M.* // Chem. Eur. J. 2019. V. 25. № 61. P. 13836.
- 85. *Vogler A., Kunkely H.* // Inorg. Chem. 1984. V. 23. № 10. P. 1360.
- 86. *Prokopuk N., Kennedy V.O., Stern C.L. et al.* // Inorg. Chem. 1998. V. 37. № 19. P. 5001.
- 87. *Chapin W. H.* // J. Am. Chem. Soc. 1910. V. 32. № 3. P. 323.
- 88. *Kamiguchi S., Nagashima S., Chihara., T. //* Metals. 2014. V. 4. P. 84.
- 89. *Kamiguchi S., Nishida S., Kurokawa H. et al.* // J. Mol. Catal. A. 2005. V. 226. P. 1.
- 90. Nagashima S., Kamiguchi S., Chihara T. // Metals. 2014. V. 4. P. 235.
- Kamiguchi S., Noda M., Miyagishi Y. et al. // J. Mol. Catal. A. 2003. V. 195. P. 159.
- 92. Nagashima S., Kamiguchi S., Ohguchi S. et al. // J. Clust. Sci. 2011. V. 22. P. 647.
- 93. Kamiguchi S., Takahashi I., Kurokawa H. et al. // Appl. Catal. A. 2006. V. 309. P. 70.
- 94. Kamiguchi S., Nakamura A., Suzuki A. et al. // J. Catal. 2005. V. 230. P. 204.
- 95. Nagashima S., Kudo K., Yamazaki H. et al. // Appl. Catal. A. 2013. V. 450. P. 50.
- Nagashima S., Yamazaki H., Kudo K. et al. // Appl. Catal. A. 2013. V. 464. P. 332.
- 97. *Kamiguchi S., Nishida S., Takahashi I. et al.* // J. Mol. Catal. A. 2006. V. 255. P. 117.
- 98. *Nagashima S., Kamiguchi S., Kudo K. et al.* // Chem. Lett. 2011. V. 40. P. 78.
- 99. Nagashima S., Sasaki T., Yamazaki H. Proceedings of the 7th International Symposium on Acid-Base Catalysis. Tokyo (Jpn): 2013. PA-051.
- 100. Hernández J. S., Guevara D., Shamshurin M. et al. // Inorg. Chem. 2023. V. 62. № 46. P. 19060.
- 101. Hernández J.S., Shamshurin M., Puche M. et al. // Nanomaterials. 2022. V. 12. P. 3647.
- 102. *Kato H., Kudo A.* // Chem. Phys. Lett. 1998. V. 295. P. 487.
- 103. Butts M.D., Torres A.S., Fitzgerald P.F. et al. // Invest. Radiol. 2016. V. 51. P. 786.
- 104. *Dahms S.O., Kuester M., Streb C. et al.* // Acta Crystallogr. D. 2013. V. 69. P. 284.
- 105. *Zuev M.G., Larionov L.P.* Tantalovye Rentgenokontrastnye Veshchestva (Tantalum X-Ray Constrast Compounds). Ekaterinburg: UrO RAN, 2002.
- 106. Chakravarty S., Hix J.M.L., Wiewiora K.A. et al. // Nanoscale. 2020. V. 12. P. 7720.
- 107. Lebastard C., Wilmet M., Cordier S. et al. // Nanomaterials. 2022. V. 12. P. 2052.
- 108. *Lebastard C., Wilmet M., Cordier S. et al.* // Sci. Tech. Adv. Mater. 2022. V. 23. P. 446.